Detaillierte Prüfung der Repräsentativität meteorologischer Daten nach VDI-Richtlinie 3783 Blatt 20 für Ausbreitungsrechnungen nach TA Luft

an einem Anlagenstandort in Falkenstein/Vogtland

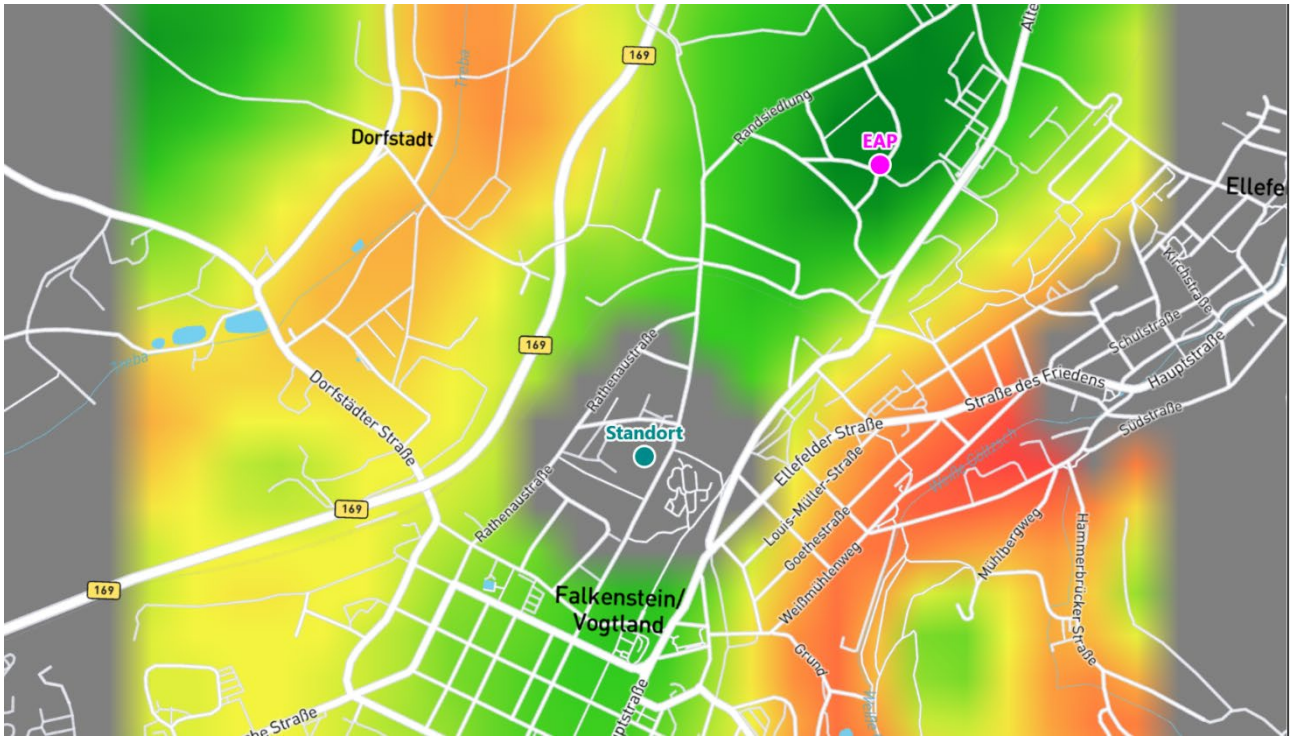

Auftraggeber:	Ingenieure Bau-Anlagen-Umwelttechnik SHN GmbH Brückenstraße 13 | 09111 Chemnitz	Tel.: +49 371 27195-30
Bearbeiter:	Dipl.-Phys. Thomas Köhler Tel.: 037206 8929-44 Email: Thomas.Koehler@ifu-analytik.de	Dr. Hartmut Sbosny Tel.: 037206 8929-43 Email: Hartmut.Sbosny@ifu-analytik.de
Aktenzeichen:	DPR.20211111-01	
Ort, Datum:	Frankenberg, 15. Dezember 2021	
Anzahl der Seiten:	56	
Anlagen:	-	

DAkkS Deutsche Akkreditierungsstelle D-PL-18986-01-00

Akkreditiert für die Bereitstellung meteorologischer Daten für Ausbreitungsrechnungen nach TA Luft nach VDI-Richtlinie 3783 Blatt 20

Durch die DAkkS nach DIN EN ISO/IEC 17025:2005 akkreditiertes Prüflaboratorium.
Die Akkreditierung gilt für die in der Urkunde aufgeführten Prüfverfahren.

IFU GmbH
Privates Institut für Analytik
An der Autobahn 7
09669 Frankenberg/Sa.

tel +49 (0) 37206.89 29 0
fax +49 (0) 37206.89 29 99
e-mail info@ifu-analytik.de
www.ifu-analytik.de

HRB Chemnitz 21046
USt-ID DE233500178
Geschäftsführer Axel Delan

iban DE27 8705 2000 3310 0089 90
bic WELADED1FGX
bank Sparkasse Mittelsachsen

Inhaltsverzeichnis

Inhaltsverzeichnis 2
Abbildungsverzeichnis 3
Tabellenverzeichnis 4
1 Aufgabenstellung 5
2 Beschreibung des Anlagenstandortes 6
2.1 Lage 6
2.2 Landnutzung 7
2.3 Orographie 9
3 Bestimmung der Ersatzanemometerposition 11
3.1 Hintergrund 11
3.2 Verfahren zur Bestimmung der Ersatzanemometerposition 11
3.3 Bestimmung der Ersatzanemometerposition im konkreten Fall 12
4 Prüfung der Übertragbarkeit meteorologischer Daten 15
4.1 Allgemeine Betrachtungen 15
4.2 Meteorologische Datenbasis 15
4.3 Erwartungswerte für Windrichtungsverteilung und Windgeschwindigkeitsverteilung am untersuchten Standort 19
4.4 Vergleich der Windrichtungsverteilungen 23
4.5 Vergleich der Windgeschwindigkeitsverteilungen 30
4.6 Auswahl der Bezugswindstation 31
5 Modellierung der Meteorologie im Untersuchungsgebiet 32
5.1 Modellansatz 32
5.2 Ergebnisse der Windfeldmodellierung im Untersuchungsgebiet 36
5.3 Verwendung modellierter Daten 37
6 Bestimmung eines repräsentativen Jahres 38
6.1 Bewertung der vorliegenden Datenbasis und Auswahl eines geeigneten Zeitraums 38
6.2 Analyse der Verteilungen von Windrichtung, Windgeschwindigkeit, Ausbreitungsklasse sowie der Nacht- und Schwachwinde 42
6.3 Prüfung auf Plausibilität 46
7 Beschreibung der Datensätze 50
7.1 Rechnerische Anemometerhöhen in Abhängigkeit von der Rauigkeitsklasse 50
7.2 Ausbreitungsklassenzeitreihe 50
8 Hinweise für die Ausbreitungsrechnung 51
9 Zusammenfassung 52
10 Prüfliste für die Übertragbarkeitsprüfung 53
11 Schrifttum 55

Abbildungsverzeichnis

Abbildung 1: Lage der Stadt Falkenstein/Vogtland in Sachsen 6
Abbildung 2: Lage des Anlagenstandortes in Falkenstein/Vogtland 7
Abbildung 3: Rauigkeitslänge in Metern in der Umgebung des Standortes nach CORINE-Datenbank 8
Abbildung 4: Luftbild mit der Umgebung des Standortes 9
Abbildung 5: Orographie um den Standort 10
Abbildung 6: Flächenhafte Darstellung des Gütemaßes zur Bestimmung der Ersatzanemometerposition 13
Abbildung 7: Ersatzanemometerposition im Relief um den Standort 14
Abbildung 8: Stationen in der Nähe des untersuchten Anlagenstandortes 16
Abbildung 9: Windrichtungsverteilung der betrachteten Messstationen 18
Abbildung 10: Prognostisch modellierte Windrichtungsverteilungen im Untersuchungsgebiet 20
Abbildung 11: Prognostisch modellierte Windrichtungsverteilung für die Ersatzanemometerposition 21
Abbildung 12: Prognostisch modellierte Windgeschwindigkeitsverteilung für die Ersatzanemometerposition 22
Abbildung 13: Vergleich der Windrichtungsverteilung der Station Plauen mit dem Erwartungswert 24
Abbildung 14: Vergleich der Windrichtungsverteilung der Station Hof mit dem Erwartungswert 25
Abbildung 15: Vergleich der Windrichtungsverteilung der Station Schleiz mit dem Erwartungswert 26
Abbildung 16: Vergleich der Windrichtungsverteilung der Station Selb-Spielberg mit dem Erwartungswert 27
Abbildung 17: Vergleich der Windrichtungsverteilung der Station Gera-Leumnitz mit dem Erwartungswert 28
Abbildung 18: Vergleich der Windrichtungsverteilung der Station Chemnitz mit dem Erwartungswert 29
Abbildung 19: Ablauf der Erzeugung modellierter Daten in Bezug auf regionale, lokale und zeitliche Repräsentativität 33
Abbildung 20: Sequenzieller Ablauf bei der Erzeugung modellierter Daten 35
Abbildung 21: Modellierung der Windrichtungsverteilung mit Standort und EAP im Untersuchungsgebiet 36
Abbildung 22: Prüfung auf vollständige und homogene Daten der modellierten Daten anhand der Windrichtungsverteilung 39
Abbildung 23: Prüfung auf vollständige und homogene Daten der modellierten Daten anhand der Windgeschwindigkeitsverteilung 40
Abbildung 24: Prüfung auf vollständige und homogene Daten der modellierten Daten anhand der Verteilung der Ausbreitungsklasse 41
Abbildung 25: Gewichtete χ^2-Summe und Einzelwerte als Maß für die Ähnlichkeit der einzelnen Testzeiträume zu je einem Jahr (Jahreszeitreihe) mit dem Gesamtzeitraum 43
Abbildung 26: Gewichtete σ-Umgebung-Treffersumme und Einzelwerte als Maß für die Ähnlichkeit der einzelnen Testzeiträume zu je einem Jahr (Jahreszeitreihe) mit dem Gesamtzeitraum 45
Abbildung 27: Vergleich der Windrichtungsverteilung für die ausgewählte Jahreszeitreihe mit dem Gesamtzeitraum 46
Abbildung 28: Vergleich der Windgeschwindigkeitsverteilung für die ausgewählte Jahreszeitreihe mit dem Gesamtzeitraum 47
Abbildung 29: Vergleich der Verteilung der Ausbreitungsklasse für die ausgewählte Jahreszeitreihe mit dem Gesamtzeitraum 48
Abbildung 30: Vergleich der Richtungsverteilung von Nacht- und Schwachwinden für die ausgewählte Jahreszeitreihe mit dem Gesamtzeitraum 49

Tabellenverzeichnis

Tabelle 1: UTM-Koordinaten des Standortes 7
Tabelle 2: UTM-Koordinaten der ermittelten Ersatzanemometerposition 12
Tabelle 3: Zur Untersuchung verwendete Messstationen 17
Tabelle 4: Gegenüberstellung meteorologischer Kennwerte der betrachteten Messstationen mit den Erwartungswerten am Standort 23
Tabelle 5: Rangliste der Bezugswindstationen hinsichtlich ihrer Windrichtungsverteilung 30
Tabelle 6: Rangliste der Bezugswindstationen hinsichtlich ihrer Windgeschwindigkeitsverteilung 31
Tabelle 7: Resultierende Rangliste der Bezugswindstationen 31
Tabelle 8: UTM-Koordinaten der Ersatzanemometerposition für die modellierten Daten 37
Tabelle 9: Rechnerische Anemometerhöhen in Abhängigkeit von der Rauigkeitsklasse 50

1 Aufgabenstellung

Der Auftraggeber plant Ausbreitungsrechnungen nach TA Luft in einem Untersuchungsgebiet in der Kleinstadt Falkenstein/Vogtland im Vogtlandkreis des Freistaates Sachsen.

Bei dem in den Ausbreitungsrechnungen betrachteten Sachverhalt handelt es sich um ein geplantes Wohngebiet „Am Stadtpark“. Die Quellhöhen der als diffus angegebenen Quellen (z. B. südöstlich gelegener Tierpark) liegen in einem Bereich von bodennah maximal 10 m über Grund.

Die TA Luft sieht vor, meteorologische Daten für Ausbreitungsrechnungen von einer Messstation (Bezugswindstation) auf einen Anlagenstandort (Zielbereich) zu übertragen, wenn am Standort der Anlage keine Messungen vorliegen. Die Übertragbarkeit dieser Daten ist zu prüfen. Die Dokumentation dieser Prüfung erfolgt im vorliegenden Dokument.

Darüber hinaus wird eine geeignete Ersatzanemometerposition (EAP) ermittelt. Diese dient dazu, den meteorologischen Daten nach Übertragung in das Untersuchungsgebiet einen Ortsbezug zu geben.

Schließlich wird ermittelt, welches Jahr für die Messdaten der ausgewählten Bezugswindstation repräsentativ für einen größeren Zeitraum ist.

2 Beschreibung des Anlagenstandortes

2.1 Lage

Der untersuchte Standort befindet sich in der Stadt Falkenstein/Vogtland in Sachsen. Die folgende Abbildung zeigt die Lage des Standortes.

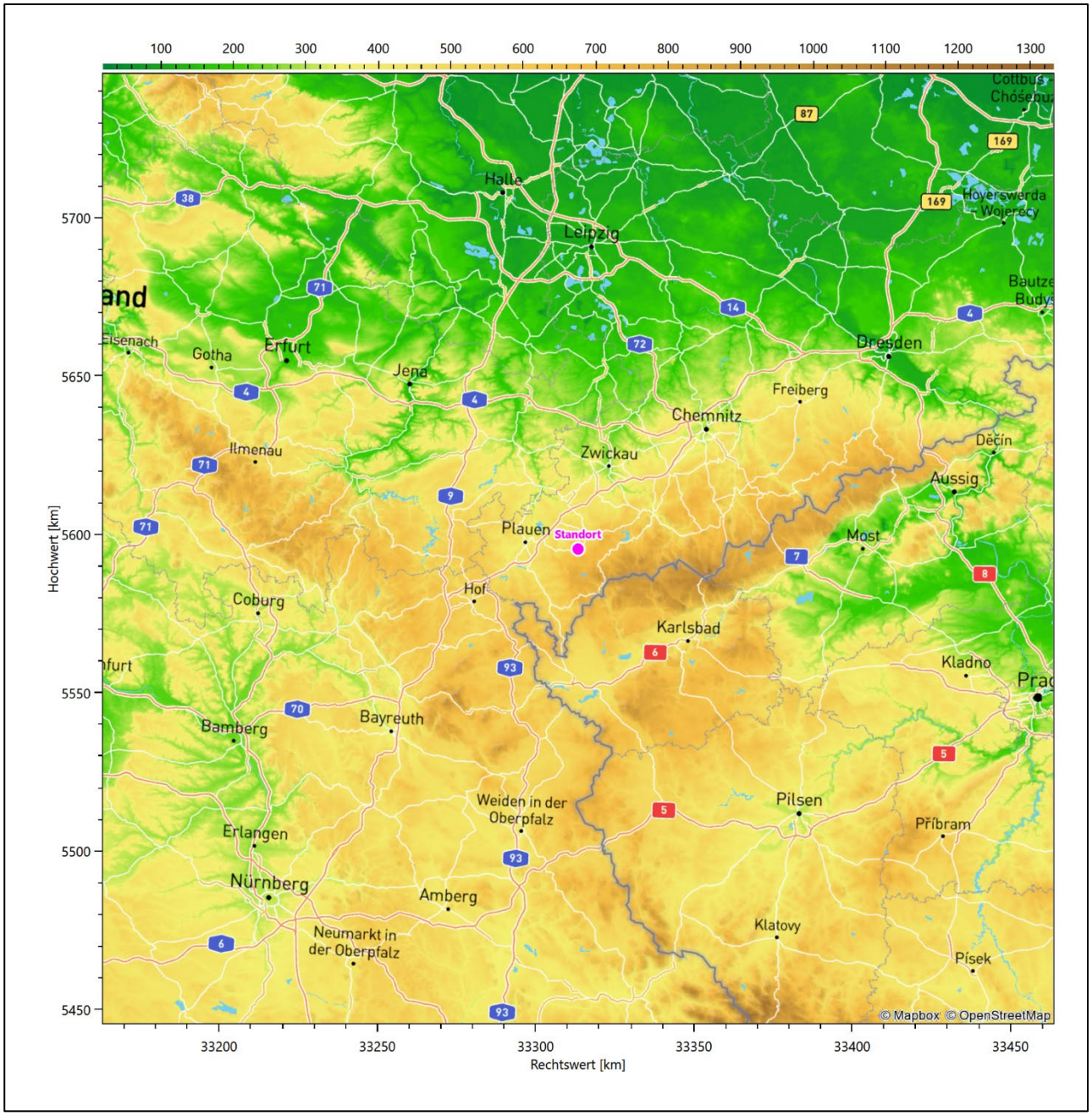

Abbildung 1: Lage der Stadt Falkenstein/Vogtland in Sachsen

Die genaue Lage des untersuchten Standortes in Falkenstein/Vogtland ist anhand des folgenden Auszuges aus der topographischen Karte ersichtlich.

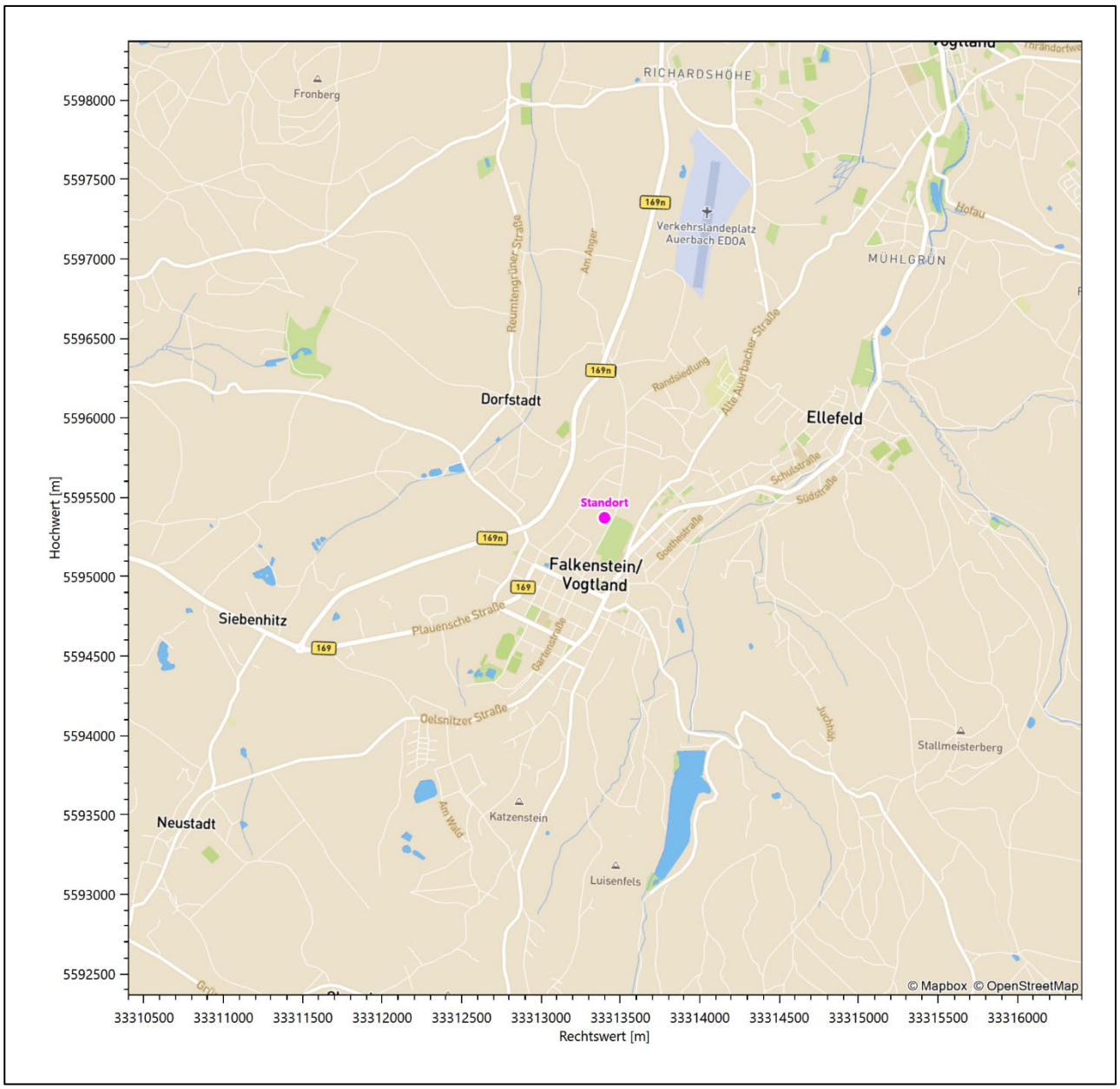

Abbildung 2: Lage des Anlagenstandortes in Falkenstein/Vogtland

In der folgenden Tabelle sind die Koordinaten des Anlagenstandortes angegeben.

Tabelle 1: UTM-Koordinaten des Standortes

RW	33313400
HW	5595370

2.2 Landnutzung

Der Standort selbst liegt sehr zentral in der Stadt Falkenstein/Vogtland. Die Umgebung des Standortes ist durch eine wechselnde Landnutzung geprägt. Unterschiedlich dicht bebautes Siedlungs- und Gewerbegebiet wechselt sich mit kleineren bewaldeten Arealen innerstädtisch und geschlossenen Waldgebieten in der

Peripherie, landwirtschaftlichen Flächen, Wasserflächen (Weiße Göltzsch, Talsperre Falkenstein, Talsperre Werda) und einer leicht urban verdichteten Verkehrswegeinfrastruktur ab.

Eine Verteilung der Bodenrauigkeit um den Standort ist aus der folgenden Abbildung ersichtlich. Die Daten wurden dem CORINE-Kataster [1] entnommen.

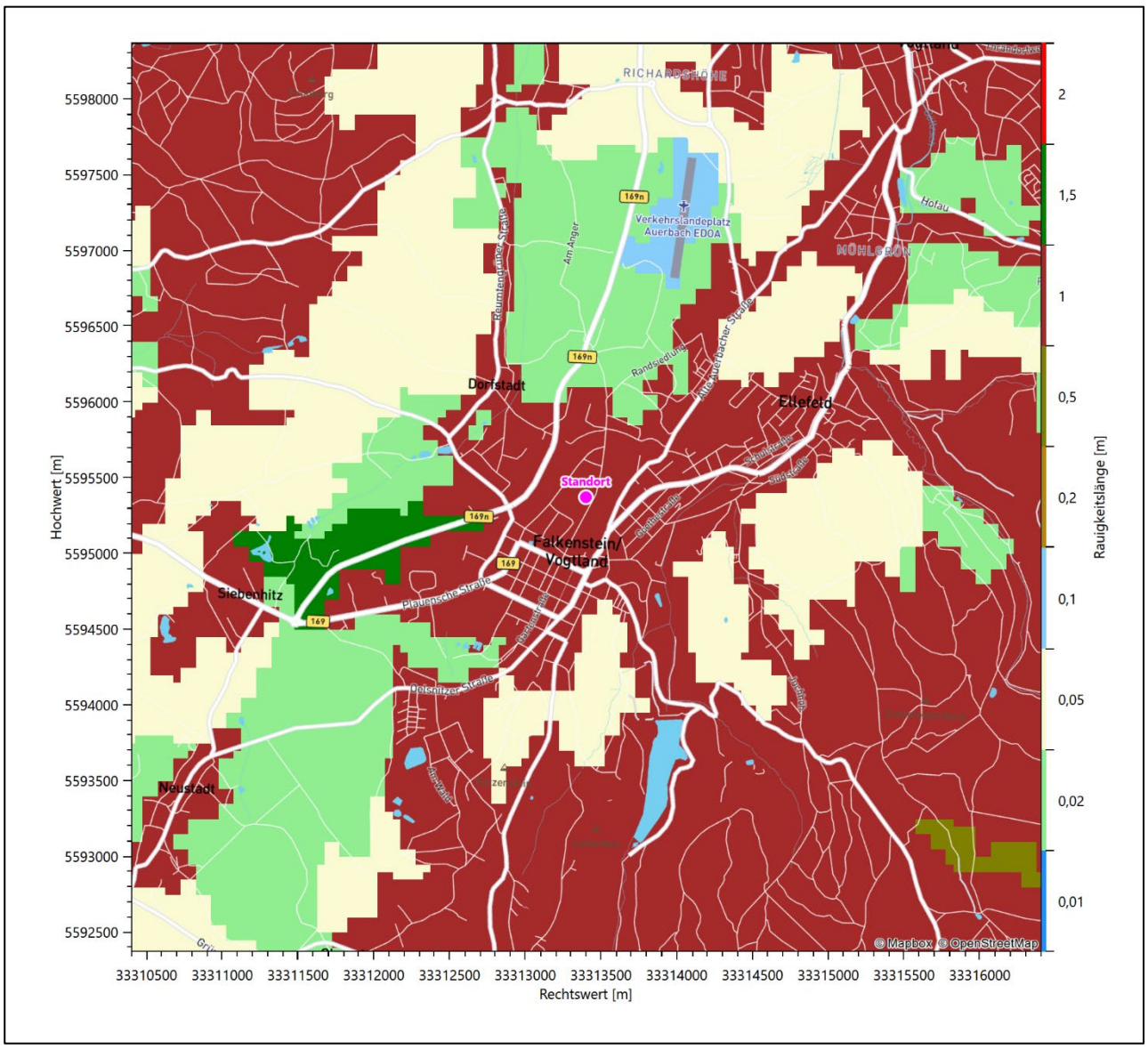

Abbildung 3: Rauigkeitslänge in Metern in der Umgebung des Standortes nach CORINE-Datenbank

Das folgende Luftbild verschafft einen detaillierten Überblick über die Nutzung um den Standort.

Abbildung 4: Luftbild mit der Umgebung des Standortes

2.3 Orographie

Der Standort liegt auf einer Höhe von etwa 568 m über NHN. Die Umgebung ist orographisch moderat gegliedert. Naturräumlich liegt Falkenstein im Verdichtungsraum Auerbach-Rodewisch. Dieser ist aber in den *Unteren Lagen des oberen Vogtlandes* eingebettet. Kleine Hochflächen und Riedelgebiete sind von einzelnen etwa 100 m eingetieften Sohlen- und Kerbsohlentälern im Bereich von Elster und Göltzsch und der Unterläufe einiger größerer Nebenflüsse zerschnitten. Nach Südosten schließen sich die *Obere Lagen auf der Nordabdachung des West- und Mittelerzgebirges* an. Die Verkürzung der Nordabdachung zum Westrand hin führt hier zu dichterer und tieferer Zerschneidung der Kammregion mit Taltiefen von 100 bis 200 m über NHN der zu meist als Kerbtäler ausgebildeten Flussläufe. Aufgrund des hohen Waldanteils tritt die landwirtschaftliche

Nutzung in diesem Raum zurück. Die Stadt Falkenstein/Vogtl. selbst liegt an der Weißen Göltzsch, einem Zufluss der Göltzsch, die Ortsteile von Falkenstein liegen an der Treba und der Trieb bzw. deren Zuflüssen. Der Standort liegt relativ zentral zwischen Treba und Weißer Göltzsch. Erstere fließt 800 m nordwestlich auf einem Niveau von 528 m über NHN, letztgenannte 725 m südöstlich auf ungefähr gleichem Niveau. Südöstlich der Stadt befindet sich die 1977 in Betrieb gegangene Talsperre Falkenstein, die die Weiße Göltzsch aufstaut. Der Standort liegt auf einem SSW-NNO streichenden, sanften Höhenrücken zwischen Treba und Göltzsch gelegen, dies wird in Abbildung 10 schnell deutlich.

Die nachfolgende Abbildung verschafft einen Überblick über das Relief.

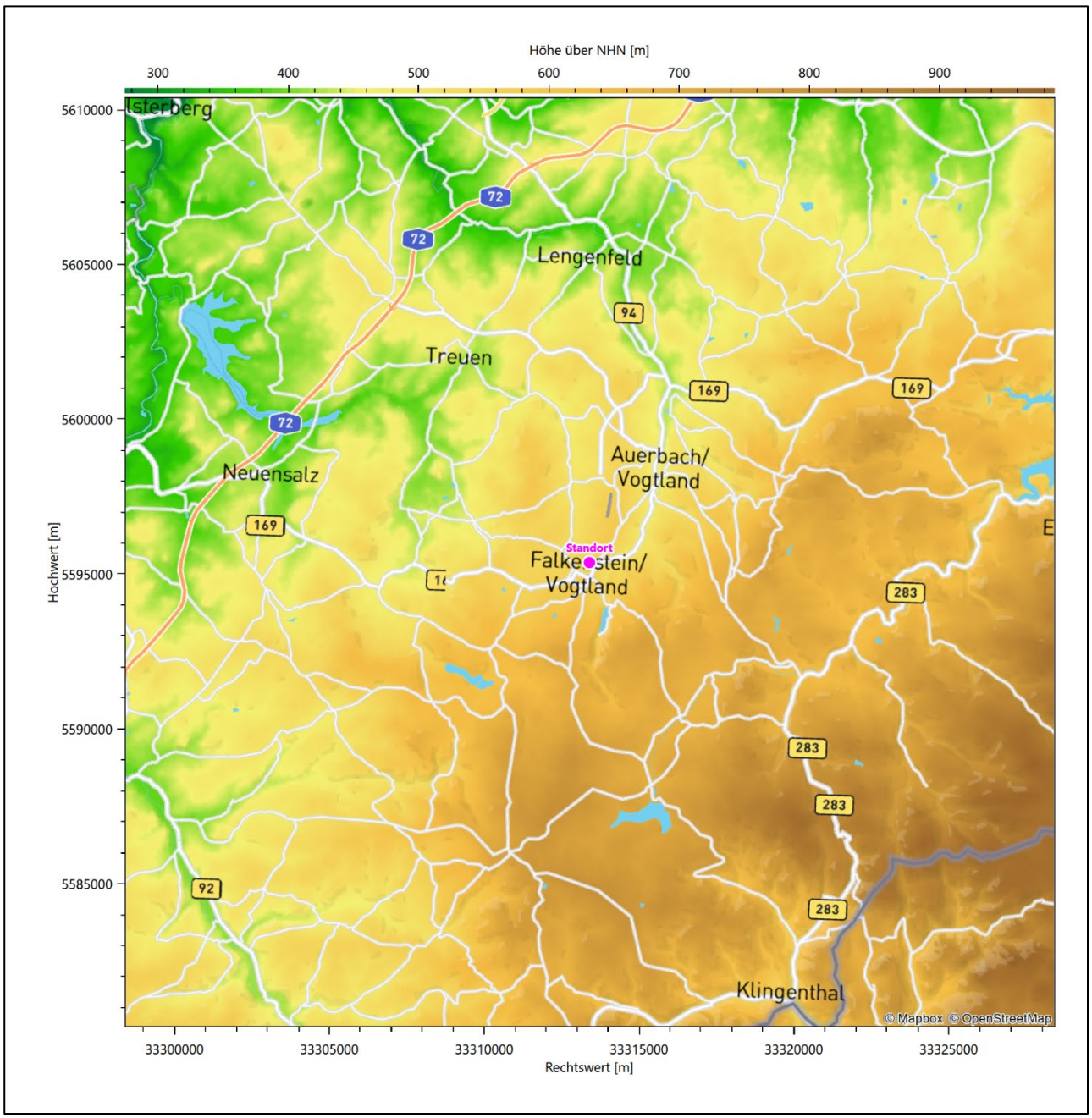

Abbildung 5: Orographie um den Standort

3 Bestimmung der Ersatzanemometerposition

3.1 Hintergrund

Bei Ausbreitungsrechnungen in komplexem Gelände ist der Standort eines Anemometers anzugeben, wodurch die verwendeten meteorologischen Daten ihren Ortsbezug im Rechengebiet erhalten. Werden meteorologische Daten einer entfernteren Messstation in ein Rechengebiet übertragen, so findet die Übertragung hin zu dieser Ersatzanemometerposition (EAP) statt.

Um sicherzustellen, dass die übertragenen meteorologischen Daten repräsentativ für das Rechengebiet sind, ist es notwendig, dass sich das Anemometer an einer Position befindet, an der die Orografie der Standortumgebung keinen oder nur geringen Einfluss auf die Windverhältnisse ausübt. Nur dann ist sichergestellt, dass sich mit jeder Richtungsänderung der großräumigen Anströmung, die sich in den übertragenen meteorologischen Daten widerspiegelt, auch der Wind an der Ersatzanemometerposition im gleichen Drehsinn und Maß ändert. Eine sachgerechte Wahl der EAP ist also Bestandteil des Verfahrens, mit dem die Übertragbarkeit meteorologischer Daten geprüft wird.

In der Vergangenheit wurde die EAP nach subjektiven Kriterien ausgewählt. Dabei fiel die Auswahl häufig auf eine frei angeströmte Kuppenlage, auf eine Hochebene oder in den Bereich einer ebenen, ausgedehnten Talsohle. Mit Erscheinen der VDI-Richtlinie 3783 Blatt 16 [2] wurde erstmals ein Verfahren beschrieben, mit dem die Position der EAP objektiv durch ein Rechenverfahren bestimmt werden kann. Dieses Verfahren ist im folgenden Abschnitt kurz beschrieben.

3.2 Verfahren zur Bestimmung der Ersatzanemometerposition

Ausgangspunkt des Verfahrens ist das Vorliegen einer Bibliothek mit Windfeldern für alle Ausbreitungsklassen und Richtungssektoren von 10° Breite. Die einzelnen Schritte werden für alle Modellebenen unterhalb von 100 m über Grund und jeden Modell-Gitterpunkt durchgeführt:

1. Es werden nur Gitterpunkte im Inneren des Rechengebiets ohne die drei äußeren Randpunkte betrachtet. Gitterpunkte in unmittelbarer Nähe von Bebauung, die als umströmtes Hindernis berücksichtigt wurde, werden nicht betrachtet.

2. Es werden alle Gitterpunkte aussortiert, an denen sich der Wind nicht mit jeder Drehung der Anströmrichtung gleichsinnig dreht oder an denen die Windgeschwindigkeit kleiner als 0,5 m/s ist. Die weiteren Schritte werden nur für die verbleibenden Gitterpunkte durchgeführt.

3. An jedem Gitterpunkt werden die Gütemaße g_d (für die Windrichtung) und g_f (für die Windgeschwindigkeit) über alle Anströmrichtungen und Ausbreitungsklassen berechnet, siehe dazu VDI-Richtlinie 3783 Blatt 16 [2], Abschnitt 6.1. Die Gütemaße g_d und g_f werden zu einem Gesamtmaß $g = g_d \cdot g_f$ zusammengefasst. Die Größe g liegt immer in dem Intervall [0,1], wobei 0 keine und 1 die perfekte Übereinstimmung mit den Daten der Anströmung bedeutet.

4. Innerhalb jedes einzelnen zusammenhängenden Gebiets mit gleichsinnig drehender Windrichtung werden die Gesamtmaße g aufsummiert zu G.

5. In dem zusammenhängenden Gebiet mit der größten Summe G wird der Gitterpunkt bestimmt, der den größten Wert von g aufweist. Dieser Ort wird als EAP festgelegt.

Das beschriebene Verfahren ist objektiv und liefert, sofern mindestens ein Gitterpunkt mit gleichsinnig drehendem Wind existiert, immer eine eindeutige EAP. Es ist auf jede Windfeldbibliothek anwendbar, unabhängig davon, ob diese mit einem prognostischen oder diagnostischen Windfeldmodell berechnet wurde.

3.3 Bestimmung der Ersatzanemometerposition im konkreten Fall

Für das in Abbildung 6 dargestellte Gebiet um den Anlagenstandort wurde unter Einbeziehung der Orographie mit dem prognostischen Windfeldmodell GRAMM [3] eine Windfeldbibliothek berechnet. Auf diese Bibliothek wurde das in Abschnitt 3.2 beschriebene Verfahren angewandt. In der Umgebung des Standortes wurde das Gütemaß g ausgerechnet. Die folgende Grafik zeigt die flächenhafte Visualisierung der Ergebnisse.

Es ist erkennbar, dass in ungünstigen Positionen das Gütemaß bis auf Werte von 0,44 absinkt. Maximal wird ein Gütemaß von 0,88 erreicht. Diese Position ist in Abbildung 6 mit EAP gekennzeichnet. Sie liegt etwa 880 m nordöstlich des Standortes. Die genauen Koordinaten sind in der folgenden Tabelle angegeben.

Tabelle 2: UTM-Koordinaten der ermittelten Ersatzanemometerposition

RW	33313950
HW	5596050

Für diese Position erfolgt im Folgenden die Prüfung der Übertragbarkeit der meteorologischen Daten.

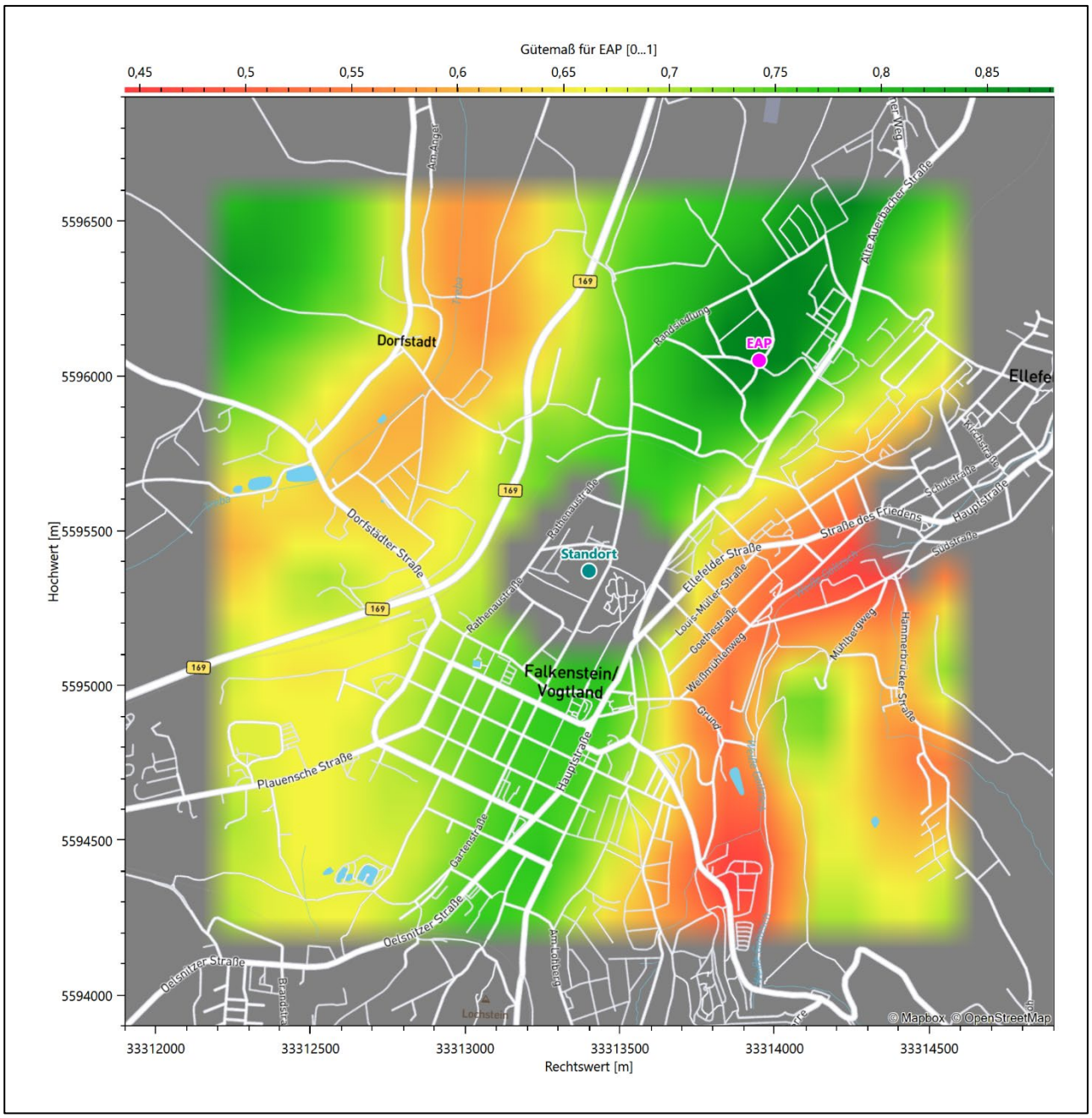

Abbildung 6: Flächenhafte Darstellung des Gütemaßes zur Bestimmung der Ersatzanemometerposition

Die zweidimensionale Darstellung bezieht sich lediglich auf die ausgewertete Modellebene im Bereich von 16,0 m. Auf diese Höhe wurden im folgenden Abschnitt 4 die Windrichtungen und Windgeschwindigkeiten bezogen, um vergleichbare Werte zu bekommen.

Die folgende Abbildung zeigt die Lage der bestimmten Ersatzanemometerposition im Relief um den Standort.

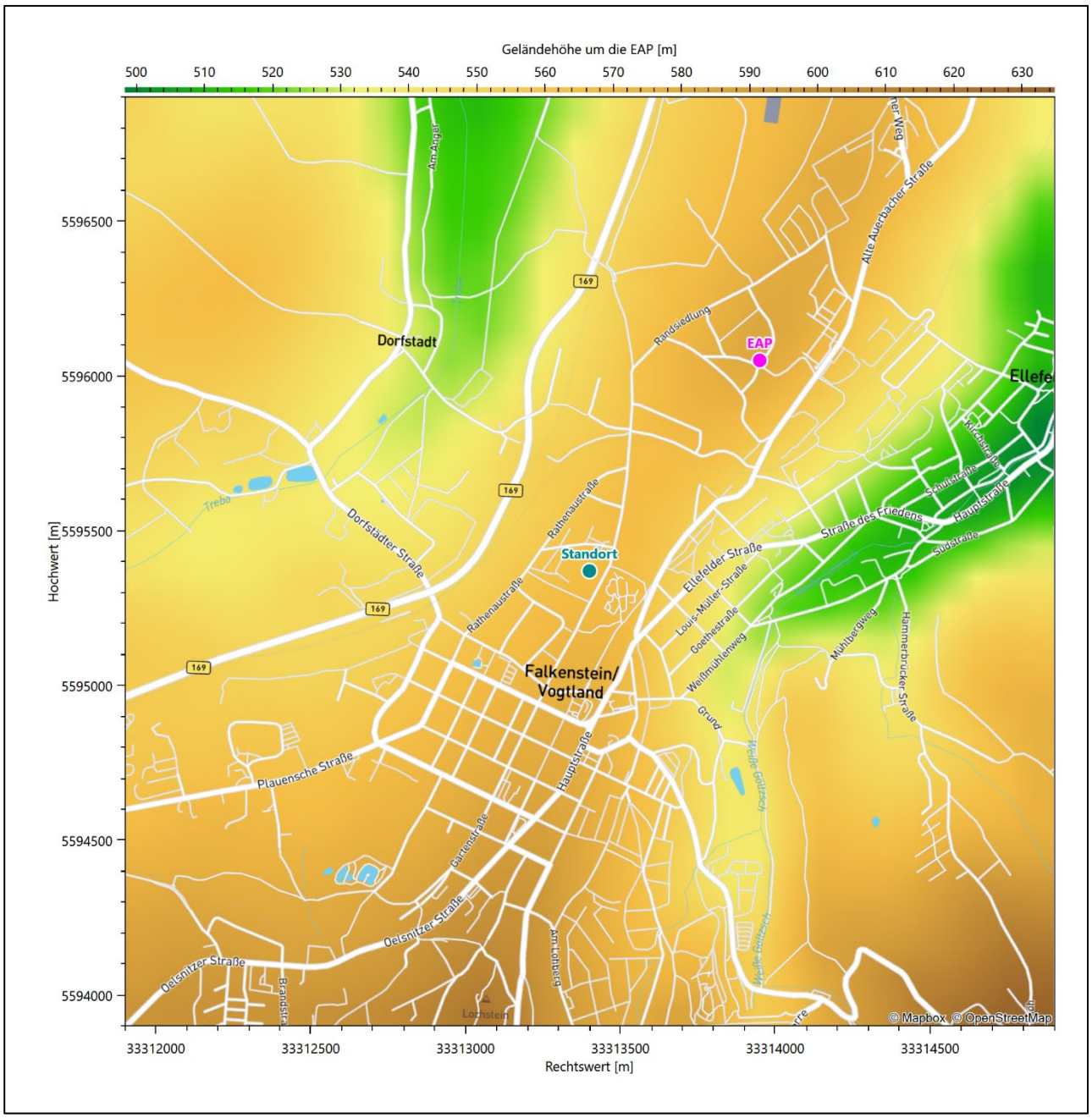

Abbildung 7: Ersatzanemometerposition im Relief um den Standort

4 Prüfung der Übertragbarkeit meteorologischer Daten

4.1 Allgemeine Betrachtungen

Die großräumige Luftdruckverteilung bestimmt die mittlere Richtung des Höhenwindes in einer Region. Im Jahresmittel ergibt sich hieraus für Sachsen das Vorherrschen der westlichen bis südwestlichen Richtungskomponente. Das Geländerelief und die Landnutzung haben jedoch einen erheblichen Einfluss sowohl auf die Windrichtung infolge von Ablenkung und Kanalisierung als auch auf die Windgeschwindigkeit durch Effekte der Windabschattung oder der Düsenwirkung. Außerdem modifiziert die Beschaffenheit des Untergrundes (Freiflächen, Wald, Bebauung, Wasserflächen) die lokale Windgeschwindigkeit, in geringem Maße aber auch die lokale Windrichtung infolge unterschiedlicher Bodenrauigkeit.

Bei windschwacher und wolkenarmer Witterung können sich wegen der unterschiedlichen Erwärmung und Abkühlung der Erdoberfläche lokale, thermisch induzierte Zirkulationssysteme wie beispielsweise Berg- und Talwinde oder Land-Seewind ausbilden. Besonders bedeutsam ist die Bildung von Kaltluft, die bei klarem und windschwachem Wetter nachts als Folge der Ausstrahlung vorzugsweise über Freiflächen (wie z. B. Wiesen und Wiesenhängen) entsteht und der Geländeneigung folgend je nach ihrer Steigung und aerodynamischen Rauigkeit mehr oder weniger langsam abfließt. Diese Kaltluftflüsse haben in der Regel nur eine geringe vertikale Mächtigkeit und sammeln sich an Geländetiefpunkten zu Kaltluftseen an. Solche lokalen Windsysteme können meist nur durch Messungen am Standort erkundet, im Falle von nächtlichen Kaltluftflüssen aber auch durch Modellrechnungen erfasst werden.

4.2 Meteorologische Datenbasis

In der Nähe des untersuchten Standortes liegen sechs Messstationen des Deutschen Wetterdienstes (Abbildung 8), die den Qualitätsanforderungen der VDI-Richtlinie 3783 Blatt 21 [4] genügen.

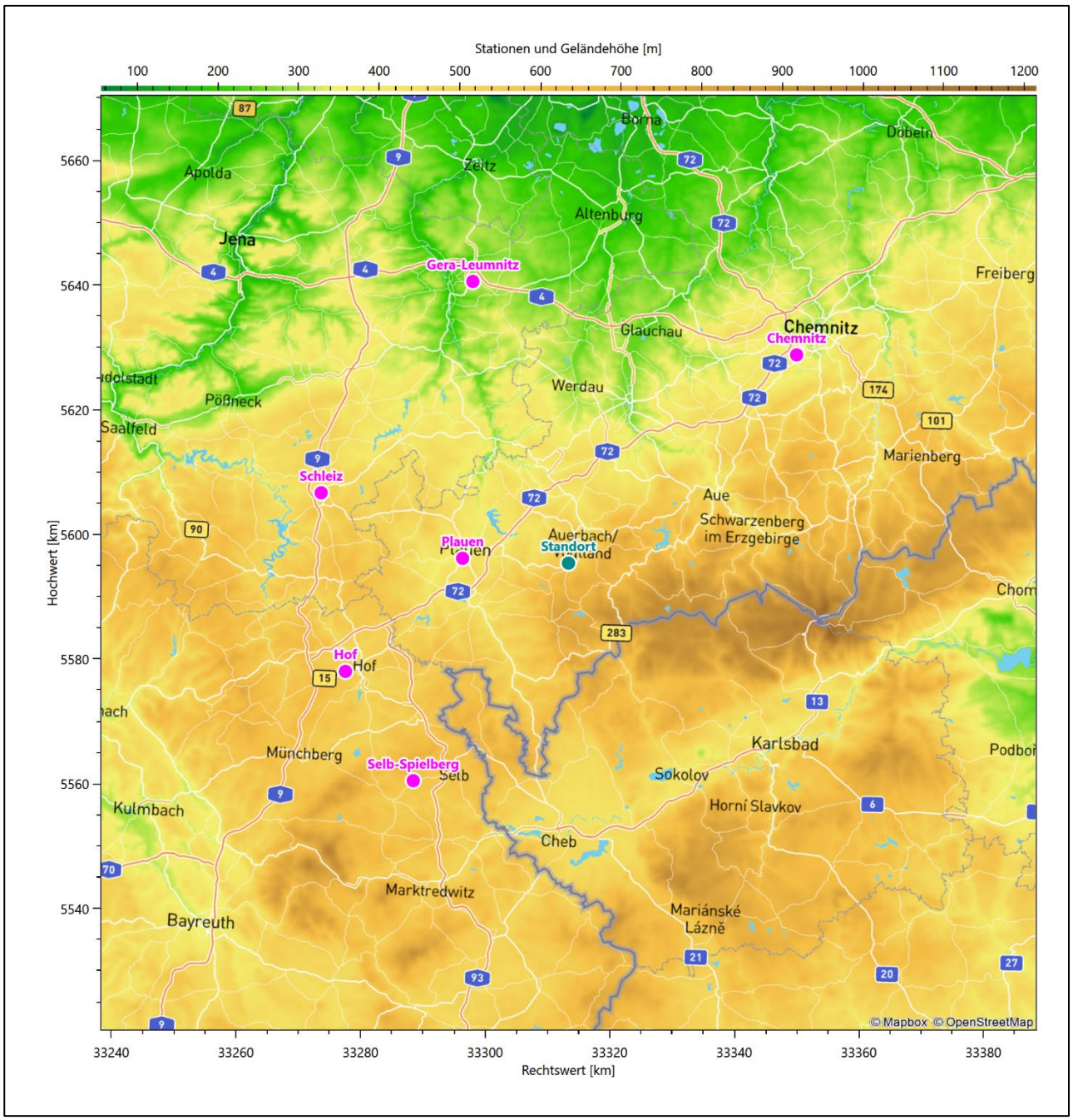

Abbildung 8: Stationen in der Nähe des untersuchten Anlagenstandortes

Die Messwerte dieser Stationen sind seit dem 1. Juli 2014 im Rahmen der Grundversorgung für die Allgemeinheit frei zugänglich. Für weitere Messstationen, auch die von anderen Anbietern meteorologischer Daten, liegt derzeit noch keine abschließende Bewertung vor, inwieweit die Qualitätsanforderungen der VDI-Richtlinie 3783 Blatt 21 [4] erfüllt werden. Deshalb werden sie im vorliegenden Fall zunächst nicht berücksichtigt.

Die folgende Tabelle gibt wichtige Daten der betrachteten Stationen an.

Tabelle 3: Zur Untersuchung verwendete Messstationen

Station	Kennung	Entfernung [km]	Geberhöhe [m]	geogr. Länge [°]	geogr. Breite [°]	Höhe über NHN [m]	Beginn der Datenbasis	Ende der Datenbasis
Plauen	3946	17	15,0	12,1300	50,4819	386	12.11.2010	31.10.2021
Hof	2261	40	12,0	11,8761	50,3122	565	12.11.2010	31.10.2021
Schleiz	4464	41	12,0	11,8041	50,5679	501	12.11.2010	31.10.2021
Selb-Spielberg	6196	43	10,0	12,0386	50,1587	610	01.06.2011	31.10.2021
Gera-Leumnitz	1612	48	12,0	12,1289	50,8813	311	12.11.2010	31.10.2021
Chemnitz	853	50	12,0	12,8720	50,7913	418	12.11.2010	31.10.2021

Die folgende Abbildung stellt die Windrichtungsverteilung jeweils über den gesamten verwendeten Messzeitraum der Stationen dar.

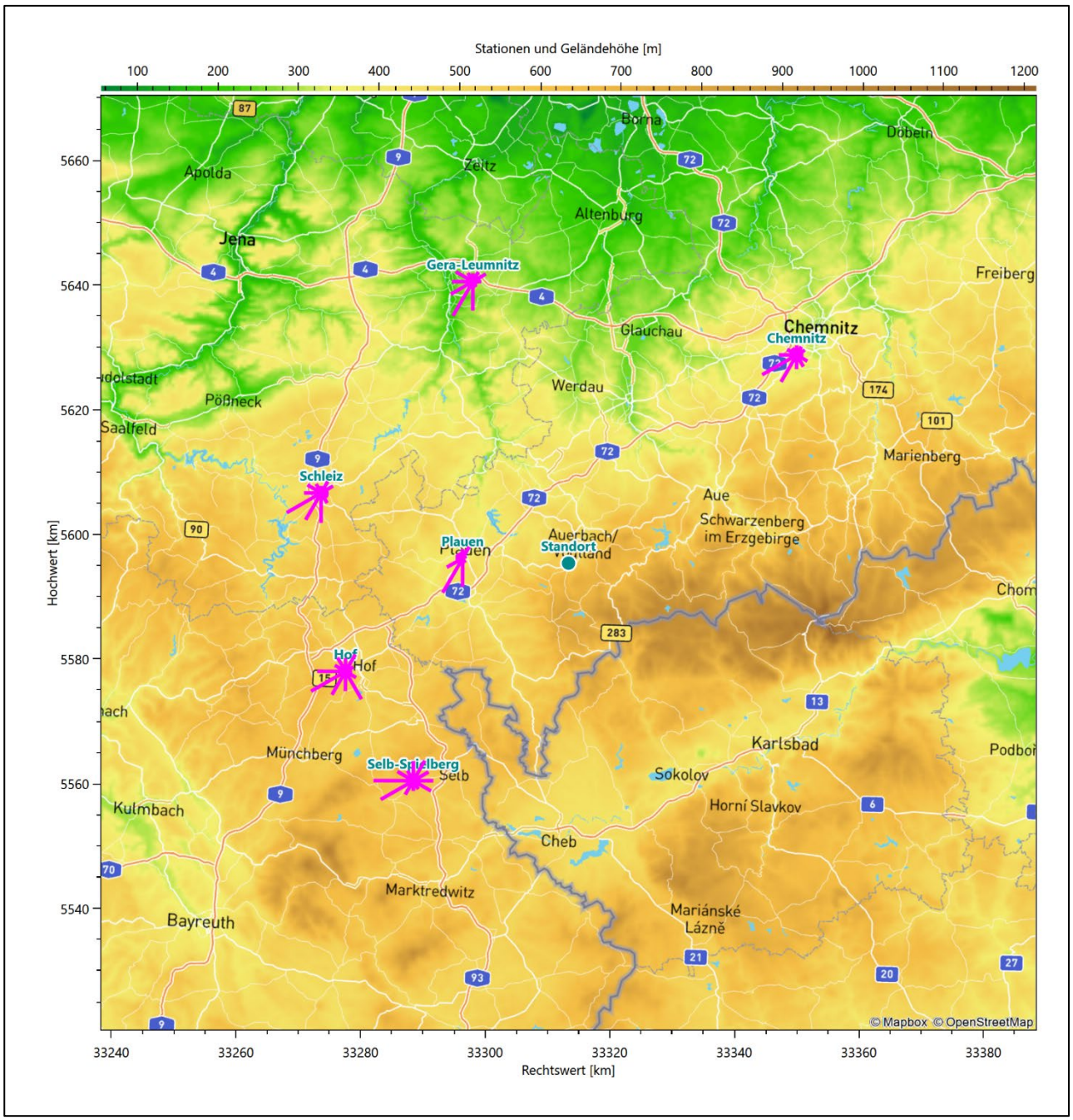

Abbildung 9: Windrichtungsverteilung der betrachteten Messstationen

Die Richtungsverteilungen der sechs Bezugswindstationen lassen sich wie folgt charakterisieren:

Bewirkt durch die prägnante Tallage im Tal der Weißen Elster zeigt Plauen eine enge Kanalisierung mit scharfem Hauptpeak bei 210° und ebenso scharfem nord-nordöstlichen Nebenmaximum bei 30°, und die Verteilung folgt weitgehend symmetrisch einer entsprechenden Achse.

Hof zeigt neben dem Hauptmaximum aus Südwesten und dem Nebenmaximum aus Nordosten als regionale Besonderheit ein sogar noch stärkeres Nebenmaximum aus Südosten, was ein Kanalisierungseffekt des dort sehr prägnant verlaufenden Saaletals sein dürfte.

Schleiz hat ein Hauptmaximum aus Südwesten mit dem typischen Nebenmaximum aus Nordosten.

Selb-Spielberg besitzt ein formales Hauptmaximum aus Westen mit fast gleichstarken Anteilen auch noch aus 240°. Ein primäres Nebenmaximum kommt aus der 30°-Richtung, ein sekundäres spannt sich breiter zwischen 90° und 120° auf.

Gera-Leumnitz zeigt die für Mitteldeutschland großskalig typische Windrichtungsverteilung mit einem scharfen Hauptmaximum aus Südsüdwesten und einem Nebenmaximum aus Nordosten.

Das nördlich des Erzgebirges gelegene Chemnitz zeigt ein scharf ausgebildetes Maximum aus Südwesten, das aus einer zusätzlichen Kanalisierung der großräumigen Südwestanströmung entlang der Kammlinie des Erzgebirges resultiert. Das typische Nebenmaximum aus Nordosten ist schwächer ausgebildet als ein Nebenmaximum aus Südosten, das bereits den Einfluss des Böhmischen Windes erkennen lässt.

4.3 Erwartungswerte für Windrichtungsverteilung und Windgeschwindigkeitsverteilung am untersuchten Standort

Über die allgemeine Betrachtung in Abschnitt 4.1 hinausgehend wurde mit einer großräumigen prognostischen Windfeldmodellierung berechnet, wie sich Windrichtungsverteilung und Windgeschwindigkeitsverteilung am untersuchten Standort gestalten. Dazu wurde ein Modellgebiet gewählt, das den untersuchten Standort mit einem Radius von zehn Kilometern umschließt. Die Modellierung selbst erfolgte mit dem prognostischen Windfeldmodell GRAMM [3], die Antriebsdaten wurden aus den REA6-Reanalysedaten des Deutschen Wetterdienstes [5] gewonnen. Abweichend vom sonst üblichen Ansatz einer einheitlichen Rauigkeitslänge für das gesamte Modellgebiet (so gefordert von der TA Luft im Kontext von Ausbreitungsrechnungen nach Anhang 3) wurde hier eine örtlich variable Rauigkeitslänge angesetzt, um die veränderliche Landnutzung im großen Rechengebiet möglichst realistisch zu modellieren. Die folgende Abbildung zeigt die ortsaufgelösten Windrichtungsverteilungen, die für das Untersuchungsgebiet ermittelt wurden.

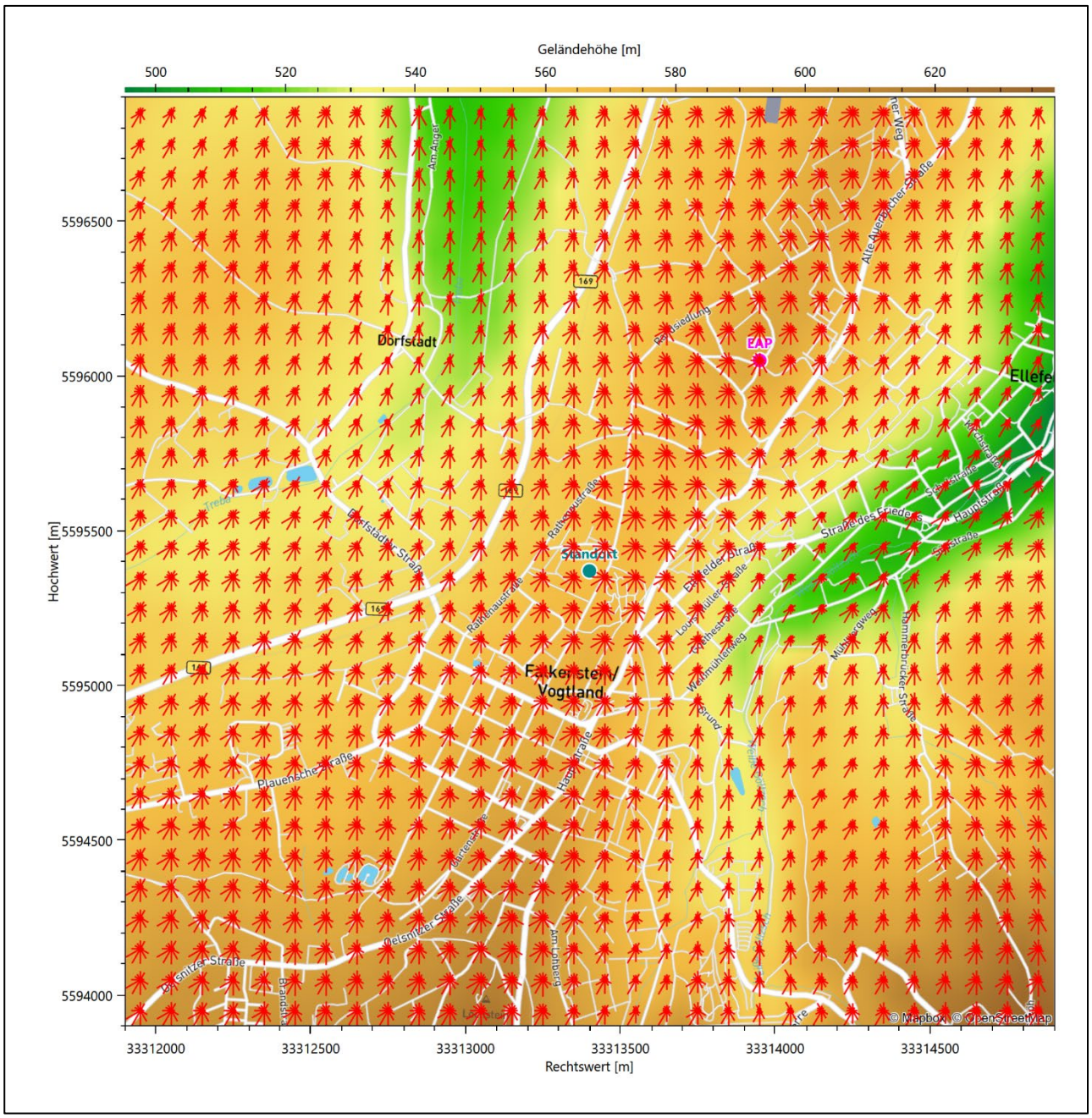

Abbildung 10: Prognostisch modellierte Windrichtungsverteilungen im Untersuchungsgebiet

Mit den modellierten Windfeldern wurden die erwarteten Windrichtungs- und Windgeschwindigkeitsverteilungen an der Ersatzanemometerposition in einer Höhe von 16,0 m berechnet. Die Verteilungen sind in den folgenden Abbildungen dargestellt.

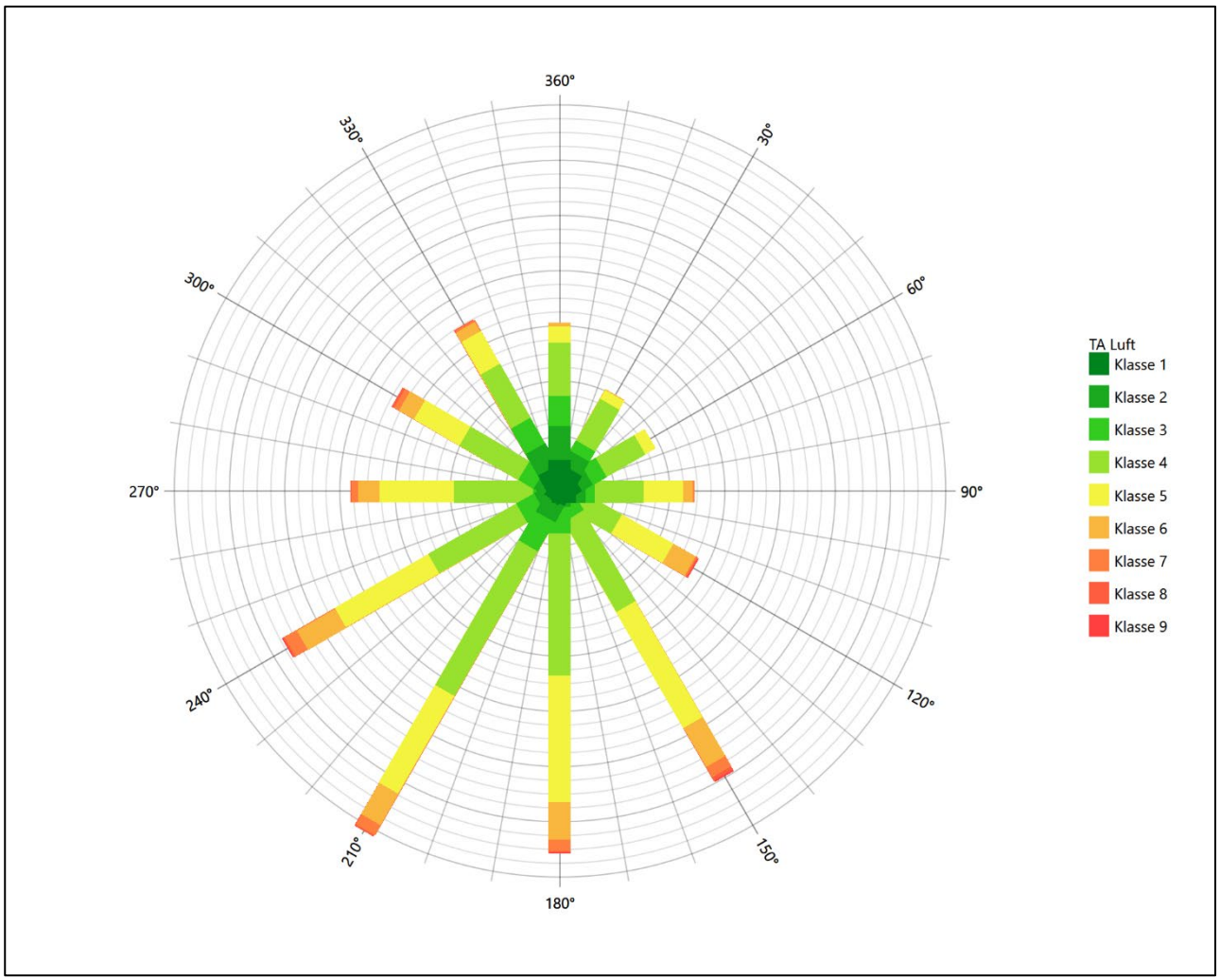

Abbildung 11: Prognostisch modellierte Windrichtungsverteilung für die Ersatzanemometerposition

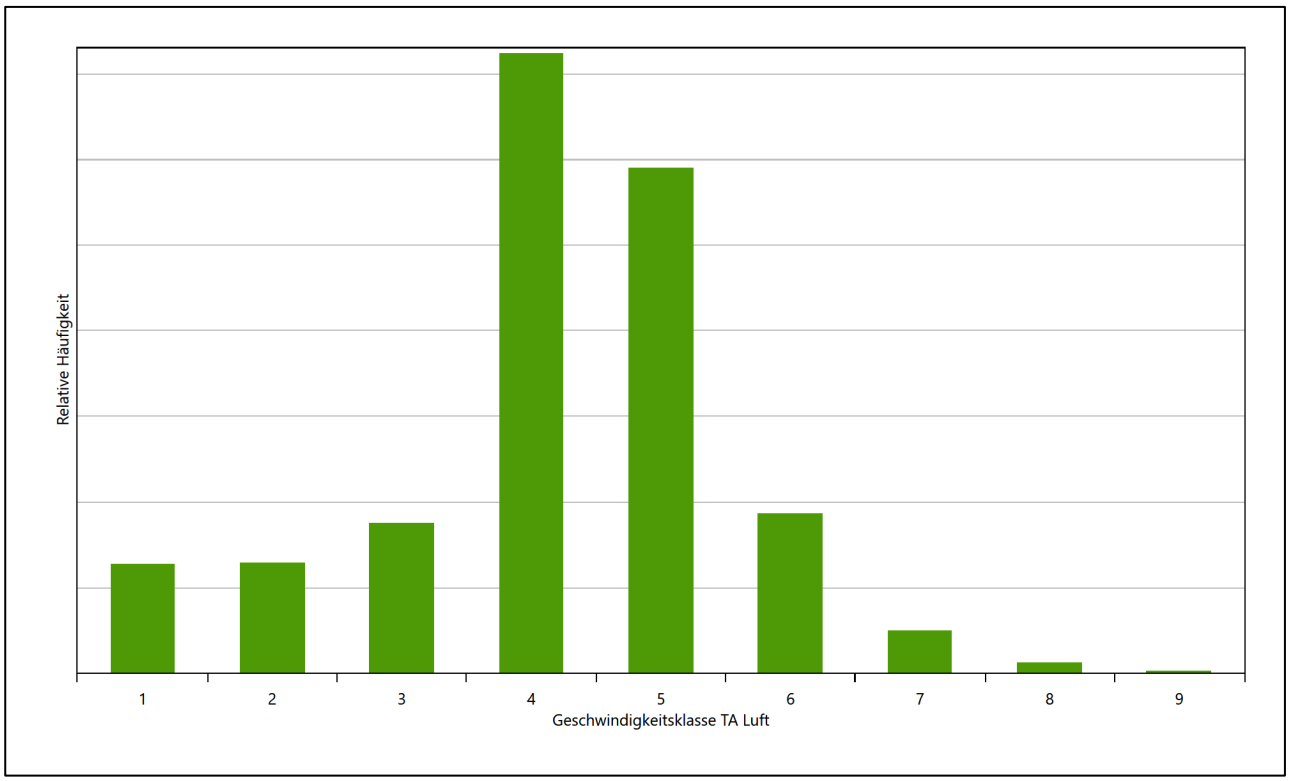

Abbildung 12: Prognostisch modellierte Windgeschwindigkeitsverteilung für die Ersatzanemometerposition

Als Durchschnittsgeschwindigkeit ergibt sich der Wert 3,64 m/s.

Für das Gebiet um die EAP wurde in Anlehnung an VDI-Richtlinie 3783 Blatt 8 [6] eine aerodynamisch wirksame Rauigkeitslänge ermittelt. Dabei wurde die Rauigkeit für die in VDI-Richtlinie 3783 Blatt 8 (Tabelle 3) tabellierten Werte anhand der Flächennutzung sektorenweise in Entfernungsabständen von 100 m bis zu einer Maximalentfernung von 3000 m bestimmt und mit der Windrichtungshäufigkeit für diesen Sektor (10° Breite) gewichtet gemittelt. Dabei ergab sich ein Wert von 0,99 m.

Es ist zu beachten, dass dieser Wert hier nur für den Vergleich von Windgeschwindigkeitsverteilungen benötigt wird und nicht dem Parameter entspricht, der als Bodenrauigkeit für eine Ausbreitungsrechnung anzuwenden ist. Für letzteren gelten die Maßgaben der TA Luft, Anhang 3, Ziffer 5.

Um die Windgeschwindigkeiten für die EAP und die betrachteten Bezugswindstationen vergleichen zu können, sind diese auf eine einheitliche Höhe über Grund und eine einheitliche Bodenrauigkeit umzurechnen. Dies geschieht mit einem Algorithmus, der in der VDI-Richtlinie 3783 Blatt 8 [6] veröffentlicht wurde. Als einheitliche Rauigkeitslänge bietet sich der tatsächliche Wert im Umfeld der EAP an, hier 0,99 m. Als einheitliche Referenzhöhe sollte nach VDI-Richtlinie 3783 Blatt 20 [7] ein Wert Anwendung finden, der weit genug über Grund und über der Verdrängungshöhe (im Allgemeinen das Sechsfache der Bodenrauigkeit) liegt. Hier wurde ein Wert von 16,0 m verwendet.

Neben der graphischen Darstellung oben führt die folgende Tabelle numerische Kenngrößen der Verteilungen für die Messstationen und die modellierten Erwartungswerte für die EAP auf.

Tabelle 4: Gegenüberstellung meteorologischer Kennwerte der betrachteten Messstationen mit den Erwartungswerten am Standort

Station	Richtungsmaximum [°]	mittlere Windgeschwindigkeit [m/s]	Schwachwindhäufigkeit [%]	Rauigkeitslänge [m]
EAP	210	3,64	2,6	0,994
Plauen	210	2,15	19,1	0,451
Hof	240	2,40	12,0	0,241
Schleiz	240	2,76	8,6	0,146
Selb-Spielberg	270	2,44	16,5	0,048
Gera-Leumnitz	210	2,75	6,1	0,033
Chemnitz	240	2,78	7,3	0,017

Die Lage des Richtungsmaximums ergibt sich aus der graphischen Darstellung. Für die mittlere Windgeschwindigkeit wurden die Messwerte der Stationen von der tatsächlichen Geberhöhe auf eine einheitliche Geberhöhe von 16,0 m über Grund sowie auf eine einheitliche Bodenrauigkeit von 0,99 m umgerechnet. Auch die Modellrechnung für die EAP bezog sich auf diese Höhe. Die Schwachwindhäufigkeit ergibt sich aus der Anzahl von (höhenkorrigierten bzw. berechneten) Geschwindigkeitswerten kleiner oder gleich 1,0 m/s.

Für das Gebiet um jede Bezugswindstation wurde in Anlehnung an VDI-Richtlinie 3783 Blatt 8 [6] eine aerodynamisch wirksame Rauigkeitslänge ermittelt. Die Ermittlung der Rauigkeit der Umgebung eines Standorts soll nach Möglichkeit auf der Basis von Windmessdaten durch Auswertung der mittleren Windgeschwindigkeit und der Schubspannungsgeschwindigkeit geschehen. An Stationen des Messnetzes des DWD und von anderen Anbietern (beispielsweise MeteoGroup) wird als Turbulenzinformation in der Regel jedoch nicht die Schubspannungsgeschwindigkeit, sondern die Standardabweichung der Windgeschwindigkeit in Strömungsrichtung bzw. die Maximalböe gemessen und archiviert. Ein Verfahren zur Ermittlung der effektiven aerodynamischen Rauigkeit hat der Deutsche Wetterdienst 2019 in einem Merkblatt [8] vorgestellt. Dieses Verfahren wird hier angewendet. Dabei ergeben sich die Werte, die in Tabelle 4 für jede Bezugswindstation angegeben sind.

4.4 Vergleich der Windrichtungsverteilungen

Der Vergleich der Windrichtungsverteilungen stellt nach VDI-Richtlinie 3783 Blatt 20 [7] das primäre Kriterium für die Fragestellung dar, ob die meteorologischen Daten einer Messstation auf den untersuchten Anlagenstandort für eine Ausbreitungsrechnung übertragbar sind.

Für die EAP liegt formal das Windrichtungsmaximum bei 210° aus Süd-Südwesten, wobei die Verteilung genähert einer Achse von West-Süd-Südwest nach Nordost folgt. Die Hauptwindrichtung ist breit zwischen 150° und 240° aufgespannt. Im Rahmen einer Fehlerbetrachtung der hier verwendeten Methoden ist kein Nebenmaximum vorhanden. Die Intensitäten wachsen vom globalen Minimum im Nordosten aus, in beide Umlaufrichtungen, monoton bis zum Hauptmaximum, an. Mit dieser Windrichtungsverteilung sind die einzelnen Bezugswindstationen zu vergleichen.

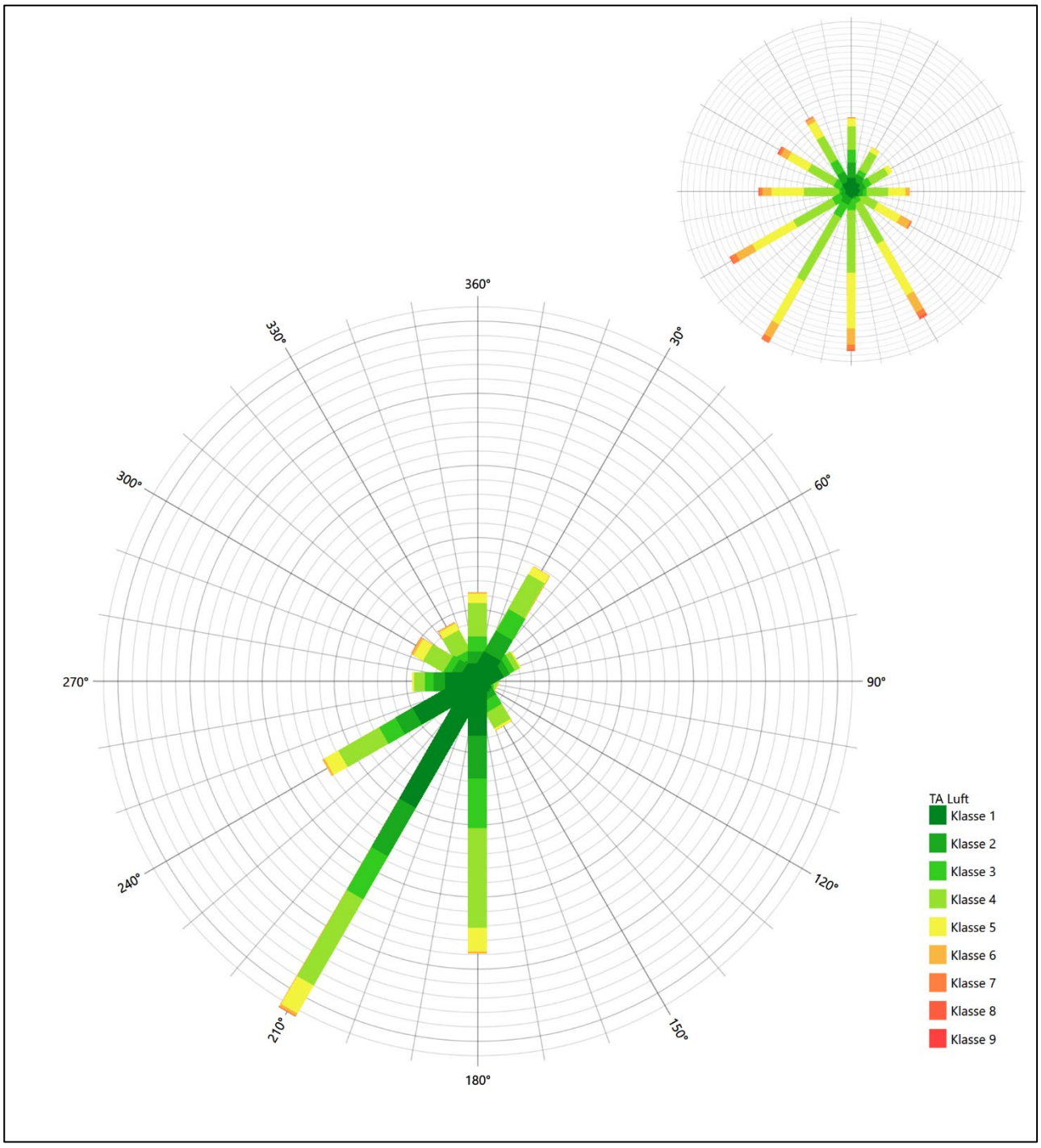

Abbildung 13: Vergleich der Windrichtungsverteilung der Station Plauen mit dem Erwartungswert

Die Station Plauen hat zwar das Hauptmaximum bei 210° aus Süd-Südwesten genau auf dem Erwartungswert an der EAP. Ansonsten ist die Station aber zu singulär scharf definiert, als dass sie die EAP-Anströmung wiedergeben könnte. Die breite Hauptanströmung ist überhaupt nicht dargestellt, und auch das Nebenmaximum aus der 30°-Richtung liegt an einer Stelle, wo ausgerechnet das globale Minimum erwartet wird. Diese Station sollte nicht übertragen werden.

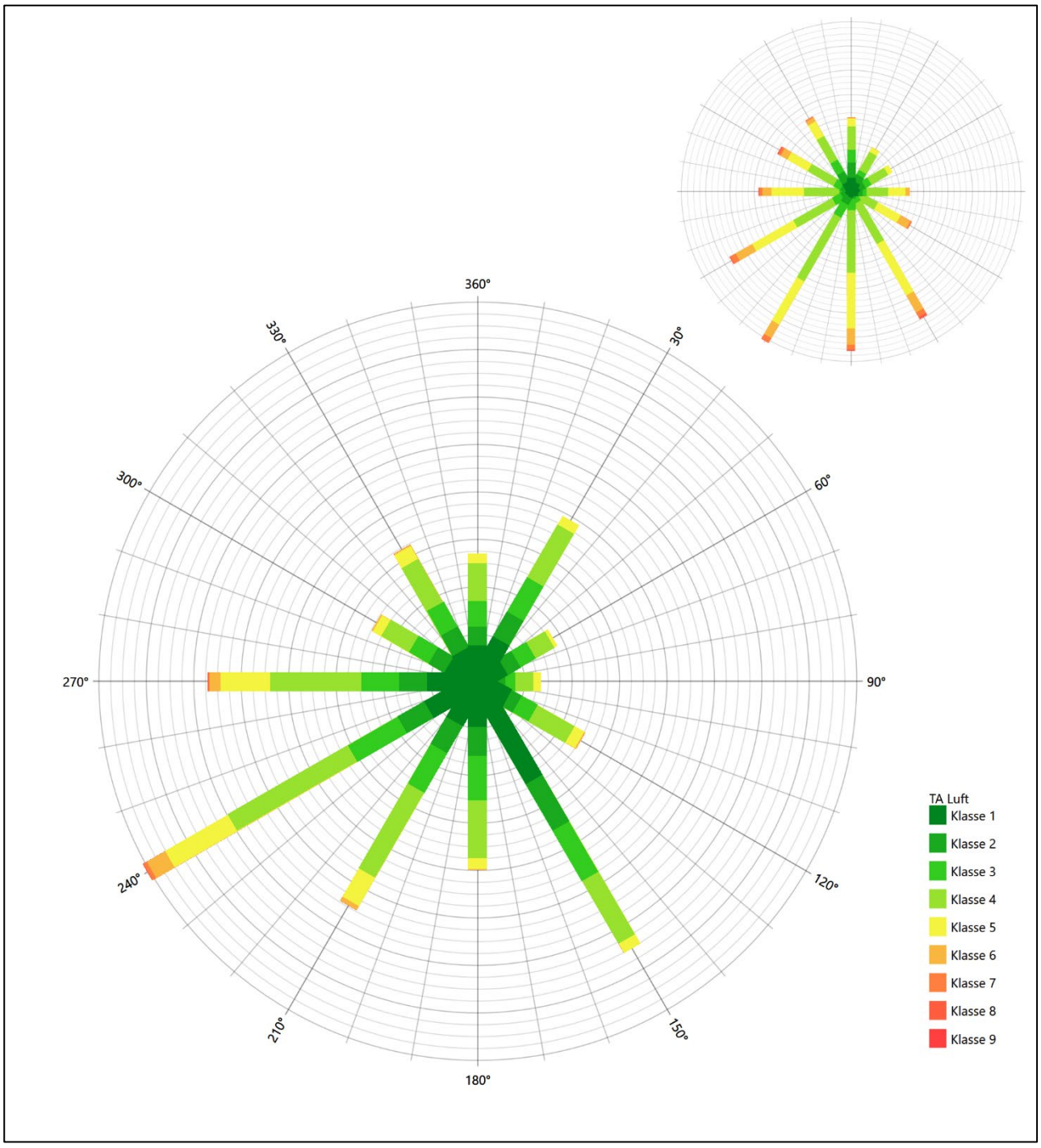

Abbildung 14: Vergleich der Windrichtungsverteilung der Station Hof mit dem Erwartungswert

Die Station Hof hat das formale Hauptmaximum bei 240° aus West-Südwesten noch im benachbarten 30°-Richtungskorridor zum Erwartungswert an der EAP. Die breite Hauptanströmung, die zwischen 150° und 240° erwartet wird, ist unter Hinzunahme des primären, süd-südöstlichen Nebenmaximums zumindest angedeutet. Sieht man vom nord-nordöstlichen, sekundären Nebenmaximum ab, so läge das globale Minimum noch im benachbarten 30°-Sektor zur EAP. Hier soll eine noch ausreichende Eignung zur Übertragung festgestellt werden.

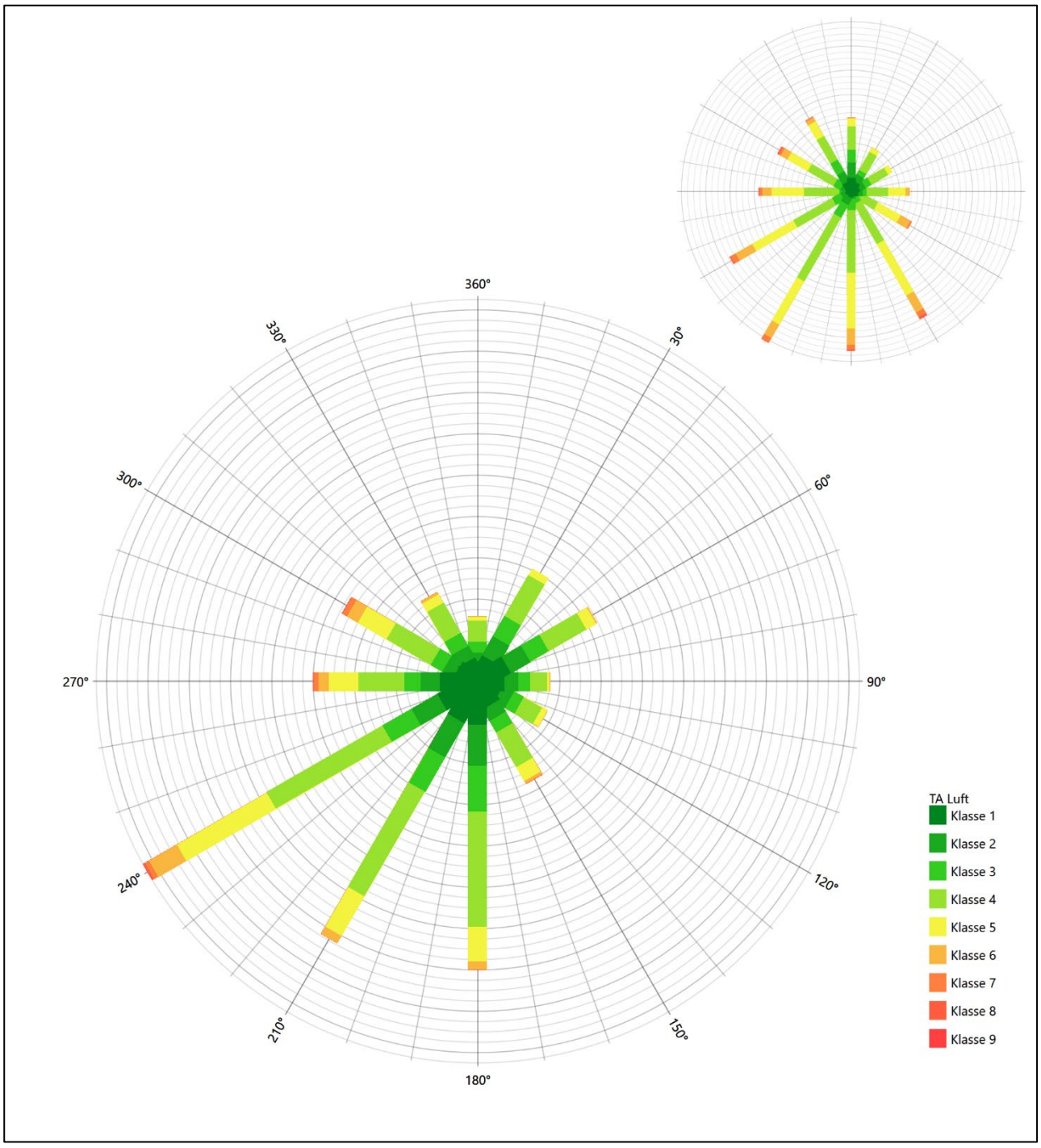

Abbildung 15: Vergleich der Windrichtungsverteilung der Station Schleiz mit dem Erwartungswert

Die Station Schleiz hat das formale Hauptmaximum bei 240° aus West-Südwesten noch im benachbarten 30°-Richtungskorridor zum Erwartungswert an der EAP. Die breite Hauptanströmung, die zwischen 150° und 240° erwartet wird, ist angedeutet. Der südöstliche Quadrant ist aber zu schwach. Das nordöstliche Nebenmaximum liegt an einer Stelle, wo das globale Minimum erwartet wurde. Die Station sollte nicht übertragen werden.

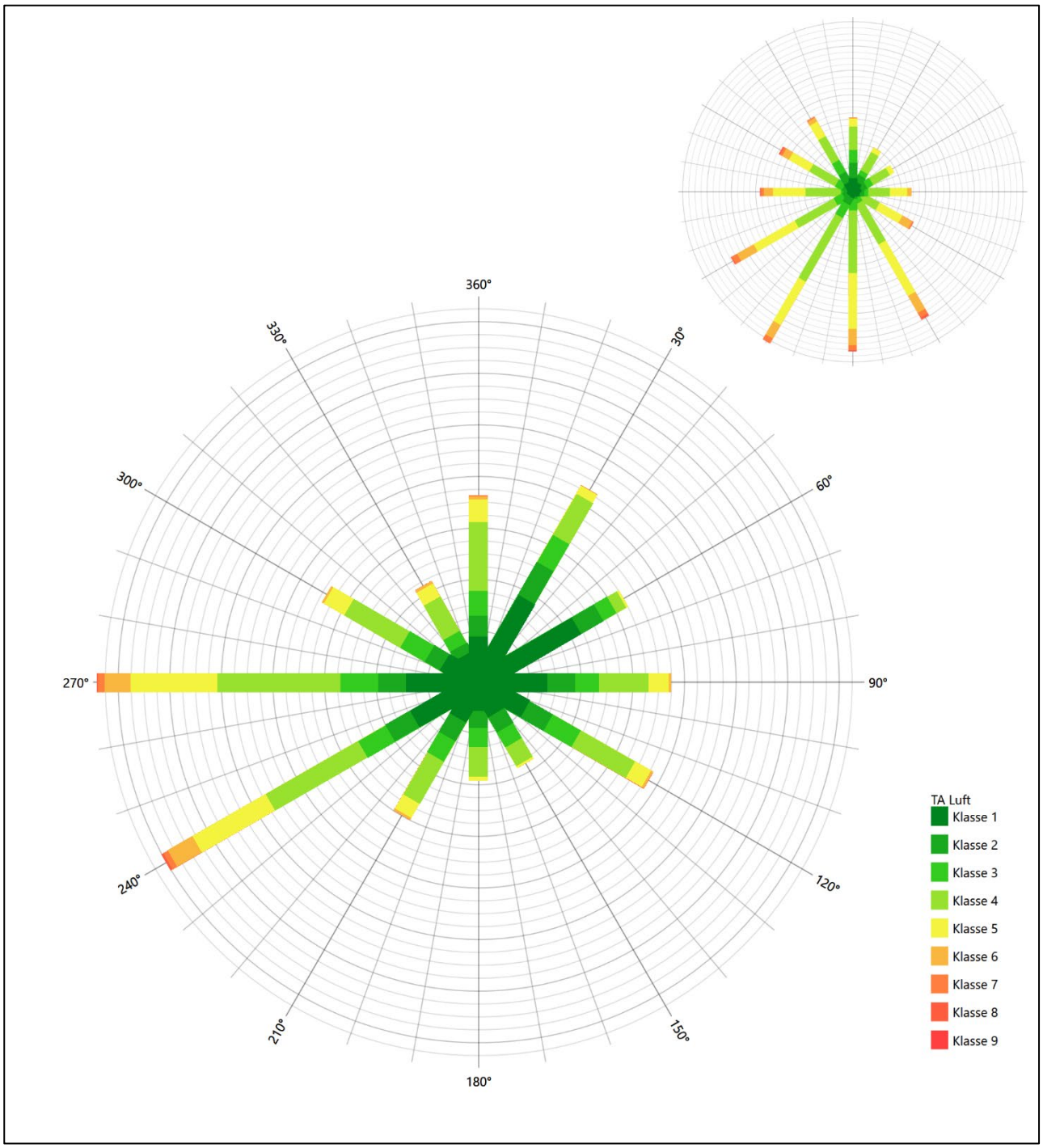

Abbildung 16: Vergleich der Windrichtungsverteilung der Station Selb-Spielberg mit dem Erwartungswert

Die Station Selb-Spielberg hat das formale Hauptmaximum bei 270° nicht mehr in benachbarten 30°-Richtungssektoren zum Erwartungswert an der EAP. Hier liegt keine hinreichende Eignung zur Übertragung vor.

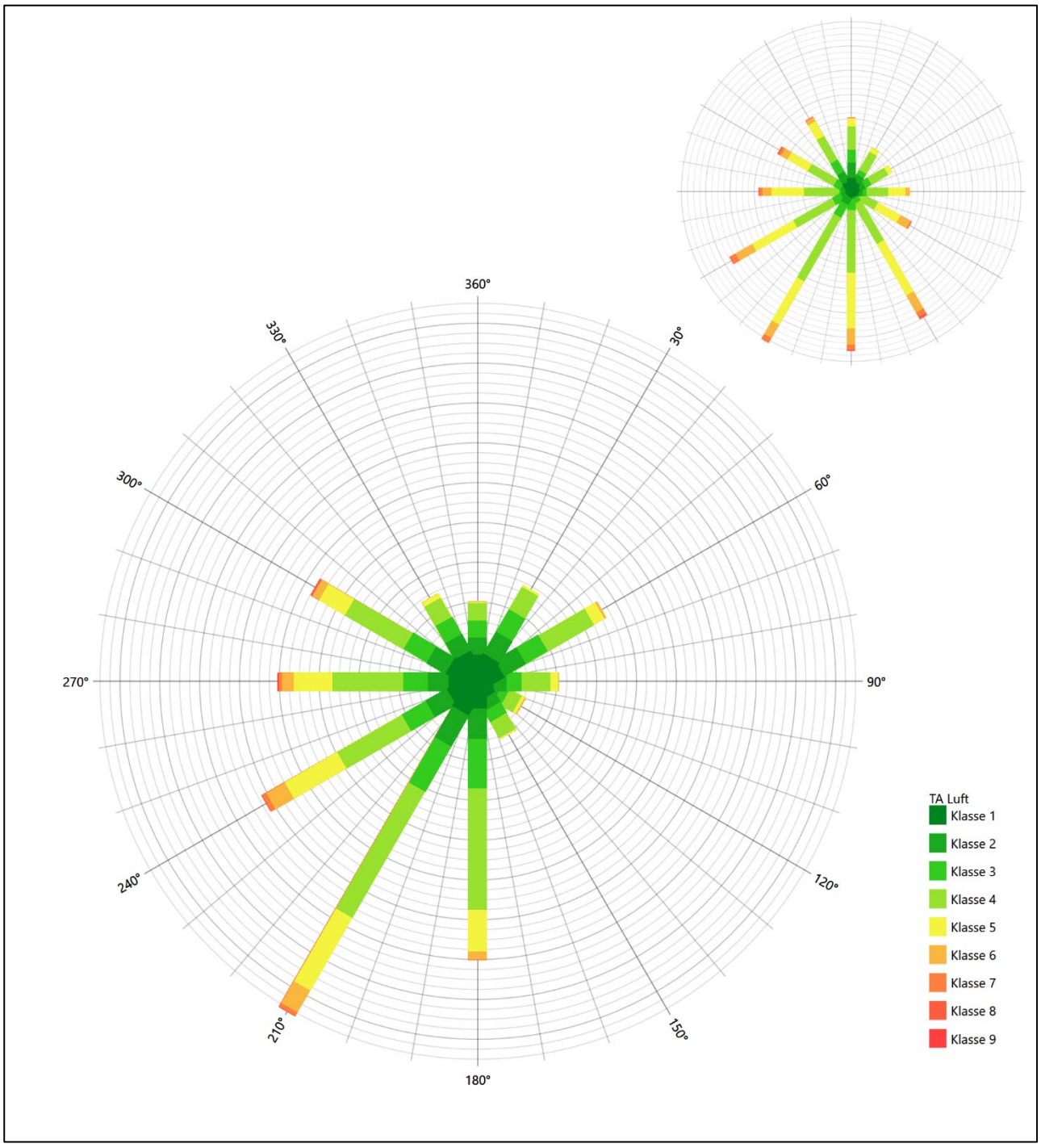

Abbildung 17: Vergleich der Windrichtungsverteilung der Station Gera-Leumnitz mit dem Erwartungswert

Die Station Gera-Leumnitz hat das formale Hauptmaximum bei 210° aus Süd-Südwesten genau auf dem Erwartungswert an der EAP. Die breite Hauptanströmung, die zwischen 150° und 240° erwartet wurde ist jedoch nicht in Gänze. Auch ist der südöstliche Quadrant ist zu schwach ausgeprägt und das ost-nordöstliche Nebenmaximum liegt an einer Stelle wo das globale Minimumerwartet wurde. Die Station sollte nicht übertragen werden.

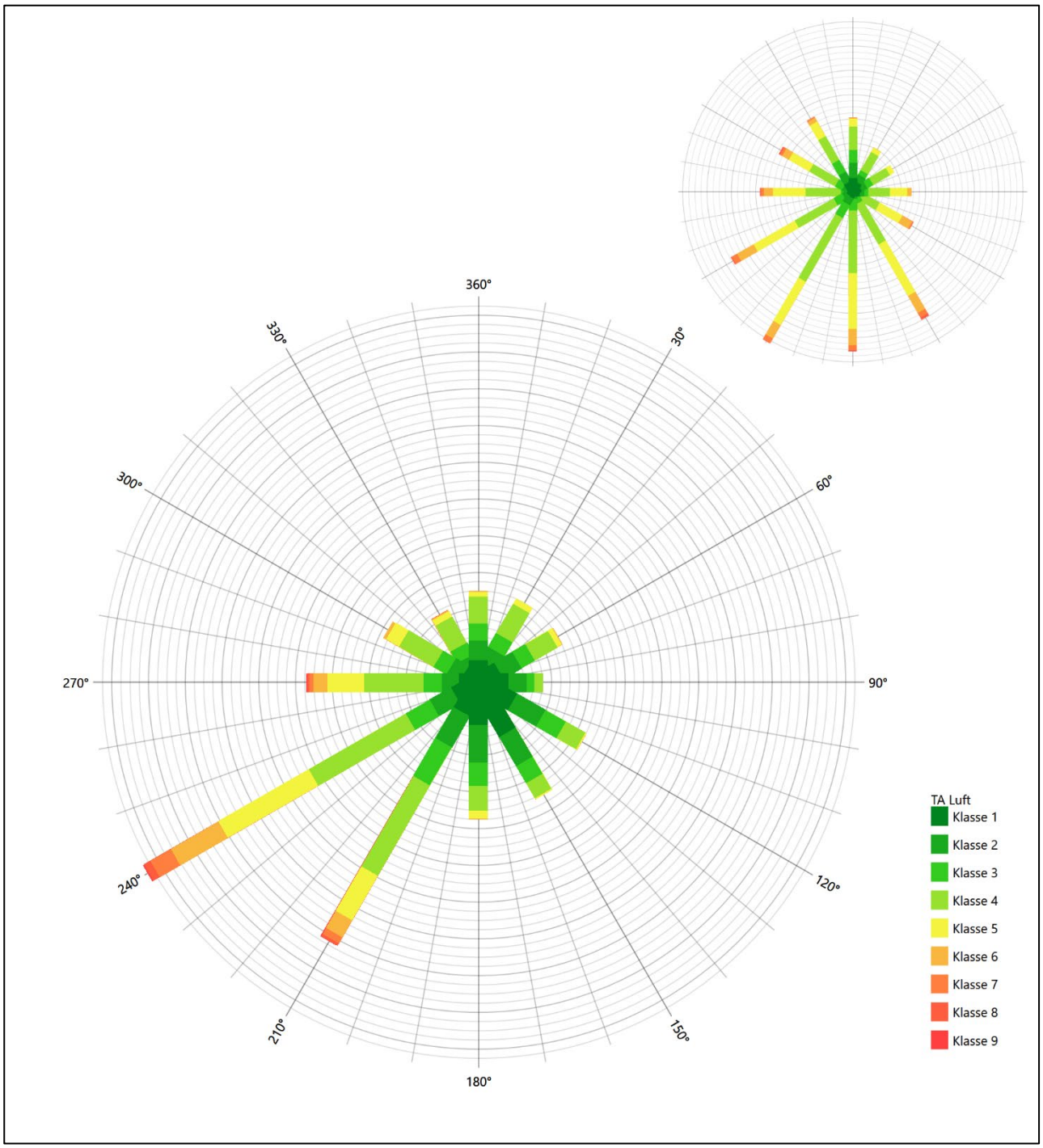

Abbildung 18: Vergleich der Windrichtungsverteilung der Station Chemnitz mit dem Erwartungswert

Die Station Chemnitz hat das formale Hauptmaximum bei 240° aus West-Südwesten noch im benachbarten 30°-Richtungskorridor zum Erwartungswert an der EAP. Die breite Hauptanströmung, die zwischen 150° und 240° erwartet wird, ist jedoch nicht interpretiert. Insbesondere der südöstliche Quadrant ist zu schwach ausgeprägt. Die Station kann nicht übertragen werden.

Somit ist aus Sicht der Windrichtungsverteilung nur die Station Hof ausreichend für eine Übertragung geeignet. Alle weiteren Bezugswindstationen erwiesen sich als nicht übertragbar.

Diese Bewertung orientiert sich an den Kriterien der VDI-Richtlinie 3783 Blatt 20 [7]. Dies ist in der folgenden Tabelle als Rangliste dargestellt. Eine Kennung von „++++“ entspricht dabei einer guten Übereinstimmung, eine Kennung von „+++“ einer befriedigenden, eine Kennung von „++“ einer ausreichenden Übereinstimmung. Die Kennung „-“ wird vergeben, wenn keine Übereinstimmung besteht und die Bezugswindstation nicht zur Übertragung geeignet ist.

Tabelle 5: Rangliste der Bezugswindstationen hinsichtlich ihrer Windrichtungsverteilung

Bezugswindstation	Bewertung in Rangliste
Hof	++
Plauen	-
Schleiz	-
Selb-Spielberg	-
Gera-Leumnitz	-
Chemnitz	-

4.5 Vergleich der Windgeschwindigkeitsverteilungen

Der Vergleich der Windgeschwindigkeitsverteilungen stellt ein weiteres Kriterium für die Fragestellung dar, ob die meteorologischen Daten einer Messstation auf den untersuchten Anlagenstandort für eine Ausbreitungsrechnung übertragbar sind. Als wichtigster Kennwert der Windgeschwindigkeitsverteilung wird hier die mittlere Windgeschwindigkeit betrachtet. Auch die Schwachwindhäufigkeit (Anteil von Windgeschwindigkeiten unter 1,0 m/s) kann für weitergehende Untersuchungen herangezogen werden.

Einen Erwartungswert für die mittlere Geschwindigkeit an der EAP liefert das hier verwendete prognostische Modell. In der Referenzhöhe 16,0 m werden an der EAP 3,64 m/s erwartet.

Als beste Schätzung der mittleren Windgeschwindigkeit an der EAP wird im Weiteren der gerundete Wert 3,6 m/s zu Grunde gelegt.

Keine der Stationen kommt diesem Wert bis auf ± 0,5 m/s nahe, was eine gute Übereinstimmung wäre.

Schleiz, Gera-Leumnitz und Chemnitz liegen mit Werten von 2,8 m/s, 2,8 m/s und 2,8 m/s (auch wieder bezogen auf 16,0 m Höhe und die EAP-Rauigkeit von 0,99 m) noch innerhalb einer Abweichung von ± 1,0 m/s, was noch eine ausreichende Übereinstimmung darstellt.

Die Stationen Plauen, Hof und Selb-Spielberg liegen mit 2,2 m/s, 2,4 m/s und 2,4 m/s deutlich darunter und außerhalb von ± 1,0 m/s Abweichung und sind nicht mehr als übereinstimmend anzusehen.

Aus Sicht der Windgeschwindigkeitsverteilung zeigen Schleiz, Gera-Leumnitz und Chemnitz eine noch ausreichende Übereinstimmung. Plauen, Hof und Selb-Spielberg sind mit einer Abweichung der mittleren Windgeschwindigkeit von mehr als 1,0 m/s gar nicht für eine Übertragung geeignet.

Diese Bewertung orientiert sich ebenfalls an den Kriterien der VDI-Richtlinie 3783 Blatt 20 [7]. Dies ist in der folgenden Tabelle als Rangliste dargestellt. Eine Kennung von „++“ entspricht dabei einer guten Übereinstimmung, eine Kennung von „+“ einer ausreichenden Übereinstimmung. Die Kennung „-“ wird vergeben, wenn keine Übereinstimmung besteht und die Bezugswindstation nicht zur Übertragung geeignet ist.

Tabelle 6: Rangliste der Bezugswindstationen hinsichtlich ihrer Windgeschwindigkeitsverteilung

Bezugswindstation	Bewertung in Rangliste
Schleiz	+
Gera-Leumnitz	+
Chemnitz	+
Plauen	-
Hof	-
Selb-Spielberg	-

4.6 Auswahl der Bezugswindstation

Fasst man die Ergebnisse der Ranglisten von Windrichtungsverteilung und Windgeschwindigkeitsverteilung zusammen, so ergibt sich folgende resultierende Rangliste.

Tabelle 7: Resultierende Rangliste der Bezugswindstationen

Bezugswindstation	Bewertung gesamt	Bewertung Richtungsverteilung	Bewertung Geschwindigkeitsverteilung
Hof	-	++	-
Schleiz	-	-	+
Gera-Leumnitz	-	-	+
Chemnitz	-	-	+
Selb-Spielberg	-	-	-
Plauen	-	-	-

In der zweiten Spalte ist eine Gesamtbewertung dargestellt, die sich als Zusammenfassung der Kennungen von Richtungsverteilung und Geschwindigkeitsverteilung ergibt. Der Sachverhalt, dass die Übereinstimmung der Windrichtungsverteilung das primäre Kriterium darstellt, wird darüber berücksichtigt, dass bei der Bewertung der Richtungsverteilung maximal die Kennung „++++“ erreicht werden kann, bei der Geschwindigkeitsverteilung maximal die Kennung „++“. Wird für eine Bezugswindstation die Kennung „-“ vergeben (Übertragbarkeit nicht gegeben), so ist auch die resultierende Gesamtbewertung mit „-“ angegeben.

In der Aufstellung ist zu erkennen, dass für keine der Stationen eine Eignung für eine Übertragung befunden werden konnte. Somit liegt ein Sonderfall vor, der es rechtfertigt, modellierte Daten zur Verfügung zu stellen.

5 Modellierung der Meteorologie im Untersuchungsgebiet

Die oben durchgeführte Untersuchung zur Repräsentativität meteorologischer Daten folgte der VDI-Richtlinie 3783 Blatt 20 [7]. Diese Richtlinie beschreibt ein Prüfverfahren, bei dem unter anderem die Messdaten verschiedener Bezugswindstationen mit Erwartungswerten für Windrichtung und Windgeschwindigkeit im Untersuchungsgebiet verglichen werden. Diese Erwartungswerte können mit Modellrechnungen ermittelt werden.

Für den Sonderfall, dass keine der Bezugswindstationen als übertragbar befunden wird, sieht VDI-Richtlinie 3783 Blatt 20 vor, dass auch modellierte Daten für Ausbreitungsrechnungen nach TA Luft verwendet werden können.

Somit greifen die in VDI-Richtlinie 3783 Blatt 20 beschriebenen Verfahren an zwei Stellen auf eine Modellierung der meteorologischen Situation im Untersuchungsgebiet zurück. Das vorliegende Dokument verwendet für diese Modellierung ein hochwertiges prognostisches Windfeldmodell, das nach VDI-Richtlinie 3783 Blatt 7 evaluiert ist. Der Modellansatz, die konkret für das Untersuchungsgebiet erhaltenen Daten sowie deren weitere Verwendung zur Prüfung auf Repräsentativität sind in den folgenden Abschnitten beschrieben.

5.1 Modellansatz

Zur Modellierung der Daten wurde ein zweistufiges Verfahren verwendet, dessen prinzipielle Eignung beispielsweise mit dem LUBW in Baden-Württemberg und dem LfULG in Sachsen abgestimmt wurde. Dieses Verfahren verwendet die Basisdaten für Testreferenzjahre des Deutschen Wetterdienstes (Schritt 1) als Antriebsdaten für eine genestete prognostische Windfeldmodellierung (Schritt 2). Die für sich bereits regional repräsentativen TRY-Basisdatensätze werden dabei weiterverarbeitet, wobei durch die prognostische Modellierung im wesentlich feiner aufgelösten Gitter von Orographie und Landnutzung sich auch eine verbesserte räumliche Repräsentativität der dabei erhaltenen Daten ergibt. Je nach Art der prognostischen Modellierung können die modellierten Daten auch lokale Kaltluft abbilden und sind damit lokal repräsentativ.

Die auf diese Weise erhaltenen räumlich repräsentativen Daten werden danach einer zeitlichen Betrachtung unterzogen um sicherzustellen, dass der letztlich erzeugte Datensatz (Ausbreitungsklassenzeitreihe oder Ausbreitungsklassenstatistik) auch zeitlich repräsentativ ist.

Die folgende Grafik zeigt den prinzipiellen Ablauf des Verfahrens in Bezug auf räumliche und zeitliche Repräsentativität.

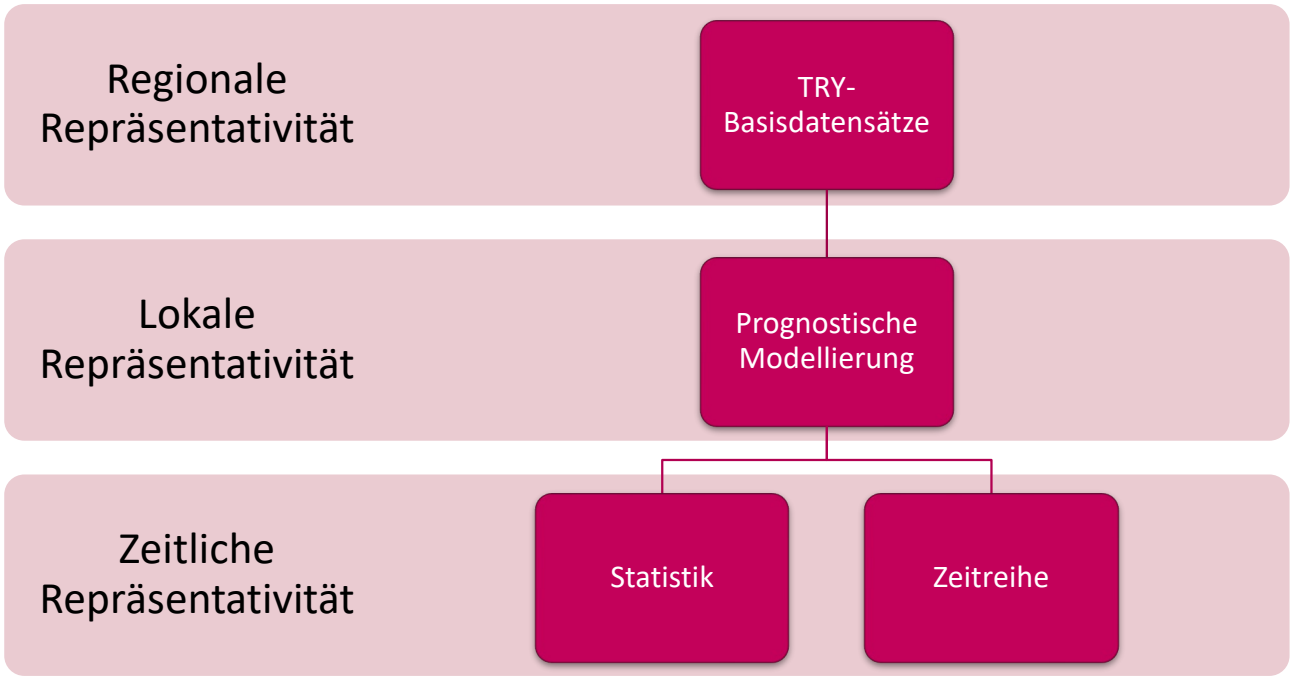

Abbildung 19: Ablauf der Erzeugung modellierter Daten in Bezug auf regionale, lokale und zeitliche Repräsentativität

Die einzelnen Verfahrensschritte sind in Abbildung 20 dargestellt.

In einem ersten Schritt wird im Prognosegebiet der Punkt gesucht, der am wenigsten lokal beeinflusst ist. Im Idealfall ist dieser Punkt nur regional beeinflusst und ist somit am besten geeignet, um als Schnittstelle für die meteorologischen Daten bei Ausbreitungsrechnungen zu dienen. Dieser Punkt wird in Anlehnung an VDI-Richtlinie 3783 Blatt 16 [2] über das dort beschriebene Rechenverfahren objektiv bestimmt. Aufgrund dieser Analogie wird er im Folgenden auch als Ersatzanemometerposition oder kurz als EAP bezeichnet.

Die EAP wird per Definition so gewählt wird, dass sie dem geringsten lokalen Einfluss unterliegt. Im Idealfall unterliegt sie gar keinem lokalen Einfluss. Dann würden meteorologische Eingangsdaten, die regional repräsentativ sind, bereits als Eingangsdaten für die Windfeldberechnung der Ausbreitungsrechnung fungieren können. Unterstellt man diese regionale Repräsentativität auch für die TRY-Basisdatensätze, so könnten in diesem Idealfall bereits die TRY-Basisdatensätze als modellierte meteorologische Daten für die Ausbreitungsrechnung verwendet werden.

Jedoch sind die Verhältnisse im vorliegenden Fall viel komplizierter, so dass auch die berechnete EAP lokalen Einflüssen unterliegt. Deshalb muss den regional repräsentativen TRY-Basisdatensätzen ein gewisses Maß an lokalem Einfluss aufgeprägt werden. Nach Möglichkeit sind dies genau die lokalen Einflüsse, denen auch die EAP unterliegt.

Um den TRY-Basisdatensätzen im hier vorgestellten Verfahren die lokale Beeinflussung aufzuprägen, wird eine prognostische Modellrechnung durchgeführt. Dabei dienen die TRY-Basisdatensätze als Antrieb für die genestete prognostische Modellrechnung. Auf diese Weise ist im Rahmen der Möglichkeiten einer prognostischen Modellierung sichergestellt, dass die EAP genau die Windverhältnisse „spürt“, die sich lokal bei einer durch die TRY-Basisdatensätze bestimmten regional repräsentativen Anströmung ergeben.

Die damit für die EAP lokal repräsentativ erhaltenen meteorologischen Daten werden zu einer Zeitreihe aneinandergefügt. Für die Erzeugung von modellierten meteorologischen Daten können zwei grundsätzliche Ansätze unterschieden werden:

1. Klassifizierung der meteorologischen Situationen und statistische Auswertung hin zu einer Ausbreitungsklassenstatistik
2. Zeitliche Aneinanderreihung der meteorologischen Situationen hin zu einer Ausbreitungsklassenzeitreihe

Für den ersten Fall wird eine Ausbreitungsklassenstatistik erzeugt, die Datensätze aus typischerweise zehn Jahren umfasst. Damit ist deren zeitliche Repräsentativität gegeben.

Für den zweiten Fall ist in Anlehnung an VDI-Richtlinie 3783 Blatt 20 [7] ein zusammenhängender Gesamtzeitraum von wenigstens fünf Jahren zu erzeugen, dessen Beginn nicht weiter als 15 Jahre zurückliegt. Aus diesem Gesamtzeitraum ist ein repräsentatives Jahr zu bestimmen.

Die einzelnen Abschnitte bei der Erzeugung modellierter meteorologischer Daten sind in der folgenden Abbildung zusammenfassend dargestellt.

Abbildung 20: Sequenzieller Ablauf bei der Erzeugung modellierter Daten

Eine ausführliche Verfahrensbeschreibung mit Aussagen auch zur Qualitätssicherung sowie zahlreichen Beispielen ist auf der Webseite der IFU GmbH zu finden.

5.2 Ergebnisse der Windfeldmodellierung im Untersuchungsgebiet

Die Modellierung der meteorologischen Situation wurde mit einer Gitterauflösung von 100 m durchgeführt. Für die Windrichtungsverteilung ergibt das im Untersuchungsgebiet das folgende Bild.

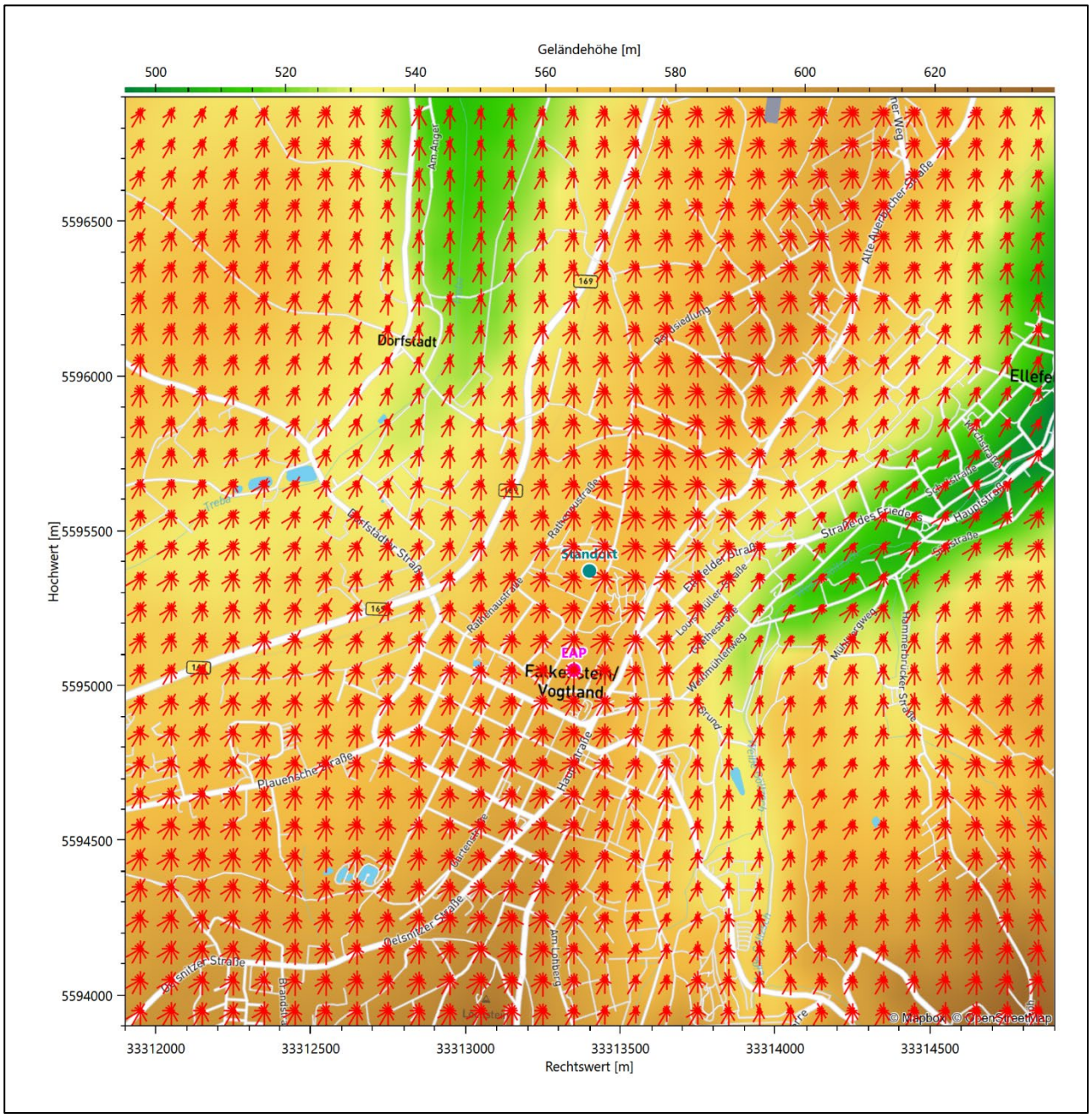

Abbildung 21: Modellierung der Windrichtungsverteilung mit Standort und EAP im Untersuchungsgebiet

Der mit „EAP“ bezeichnete Punkt wurde wie weiter oben beschrieben festgelegt, um einen Aufpunkt zu haben, der möglichst geringen lokalen Einflüssen unterliegt. Diese EAP liegt etwa 324 m südlich des Standortes. Die genauen Koordinaten sind in der folgenden Tabelle angegeben.

Tabelle 8: UTM-Koordinaten der Ersatzanemometerposition für die modellierten Daten

RW	33313350
HW	5595050

Diese Position dient im Rahmen der Prüfung der Übertragbarkeit meteorologischer Daten als Zielbereich im Sinne von VDI-Richtlinie 3783 Blatt 20, für den die Erwartungswerte für Windrichtungsverteilung und Windgeschwindigkeitsverteilung bestimmt werden. Bei der Bereitstellung modellierter meteorologischer Daten werden diese für die EAP als Aufpunkt berechnet.

Bei einer späteren Ausbreitungsrechnung muss sichergestellt werden, dass das vorgeschaltete Windfeldmodell den Einfluss der Orographie im dann verwendeten Rechengebiet korrekt abbildet. Das könnte in einem relativ homogenen Bereich um die EAP mit einem diagnostischen Windfeldmodell geschehen. Für größere Bereich, in denen gemäß Abbildung 21 die Inhomogenitäten zunehmen, empfiehlt sich eine prognostische Windfeldmodellierung. Dazu wären die Bestimmungen der TA Luft in Anhang 3 zur Berücksichtigung von Geländeunebenheiten zu beachten.

5.3 Verwendung modellierter Daten

Die in Abschnitt 5 beschriebene qualitativ hochwertige prognostische Modellierung ist in der Lage, auch für stark gegliedertes Gelände modellierte meteorologische Daten zu erzeugen.

Die Auswahl des repräsentativen Jahres und die Erstellung des Datensatzes wird in den folgenden Abschnitten beschrieben.

6 Bestimmung eines repräsentativen Jahres

Neben der räumlichen Repräsentanz der meteorologischen Daten ist auch die zeitliche Repräsentanz zu prüfen. Bei Verwendung einer Jahreszeitreihe der meteorologischen Daten muss das berücksichtigte Jahr für den Anlagenstandort repräsentativ sein. Dies bedeutet, dass aus einer hinreichend langen, homogenen Zeitreihe (nach Möglichkeit 10 Jahre, mindestens jedoch 5 Jahre) das Jahr ausgewählt wird, das dem langen Zeitraum bezüglich der Windrichtungs-, Windgeschwindigkeits- und Stabilitätsverteilung am ehesten entspricht.

Im vorliegenden Fall geschieht die Ermittlung eines repräsentativen Jahres in Anlehnung an das Verfahren AKJahr, das vom Deutschen Wetterdienst verwendet und in der VDI-Richtlinie 3783 Blatt 20 [7] veröffentlicht wurde.

Bei diesem Auswahlverfahren handelt es sich um ein objektives Verfahren, bei dem die Auswahl des zu empfehlenden Jahres hauptsächlich auf der Basis der Resultate zweier statistischer Prüfverfahren geschieht. Die vorrangigen Prüfkriterien dabei sind Windrichtung und Windgeschwindigkeit, ebenfalls geprüft werden die Verteilungen von Ausbreitungsklassen und die Richtung von Nacht- und Schwachwinden. Die Auswahl des repräsentativen Jahres erfolgt dabei in mehreren aufeinander aufbauenden Schritten. Diese sind in den folgenden Abschnitten.

6.1 Bewertung der vorliegenden Datenbasis und Auswahl eines geeigneten Zeitraums

Um durch Einflüsse wie z. B. durch ungeeignete Eingangsdaten oder Modellartefakte hervorgerufene Unstetigkeiten innerhalb der betrachteten Datenbasis weitgehend auszuschließen, werden die Zeitreihen zunächst auf Homogenität geprüft. Dazu werden die Häufigkeitsverteilungen von Windrichtung, Windgeschwindigkeit und Ausbreitungsklasse herangezogen.

Für die Bewertung der Windrichtungsverteilung werden insgesamt 12 Sektoren mit einer Klassenbreite von je 30° gebildet. Es wird nun geprüft, ob bei einem oder mehreren Sektoren eine sprunghafte Änderung der relativen Häufigkeiten von einem Jahr zum anderen vorhanden ist. „Sprunghafte Änderung“ bedeutet dabei eine markante Änderung der Häufigkeiten, die die normale jährliche Schwankung deutlich überschreitet, und ein Verbleiben der Häufigkeiten auf dem neu erreichten Niveau über die nächsten Jahre. Ist dies der Fall, so wird im Allgemeinen von einer Inhomogenität ausgegangen und die zu verwendende Datenbasis entsprechend gekürzt.

Eine analoge Prüfung wird anhand der Windgeschwindigkeitsverteilung durchgeführt, wobei eine Aufteilung auf die Geschwindigkeitsklassen der TA Luft, Anhang 3, Tabelle 18 [9] erfolgt. Schließlich wird auch die Verteilung der Ausbreitungsklassen im zeitlichen Verlauf über den Gesamtzeitraum untersucht.

Die nachfolgenden Abbildungen zeigen den Test auf Homogenität für den modellierten Datensatz über die letzten Jahre.

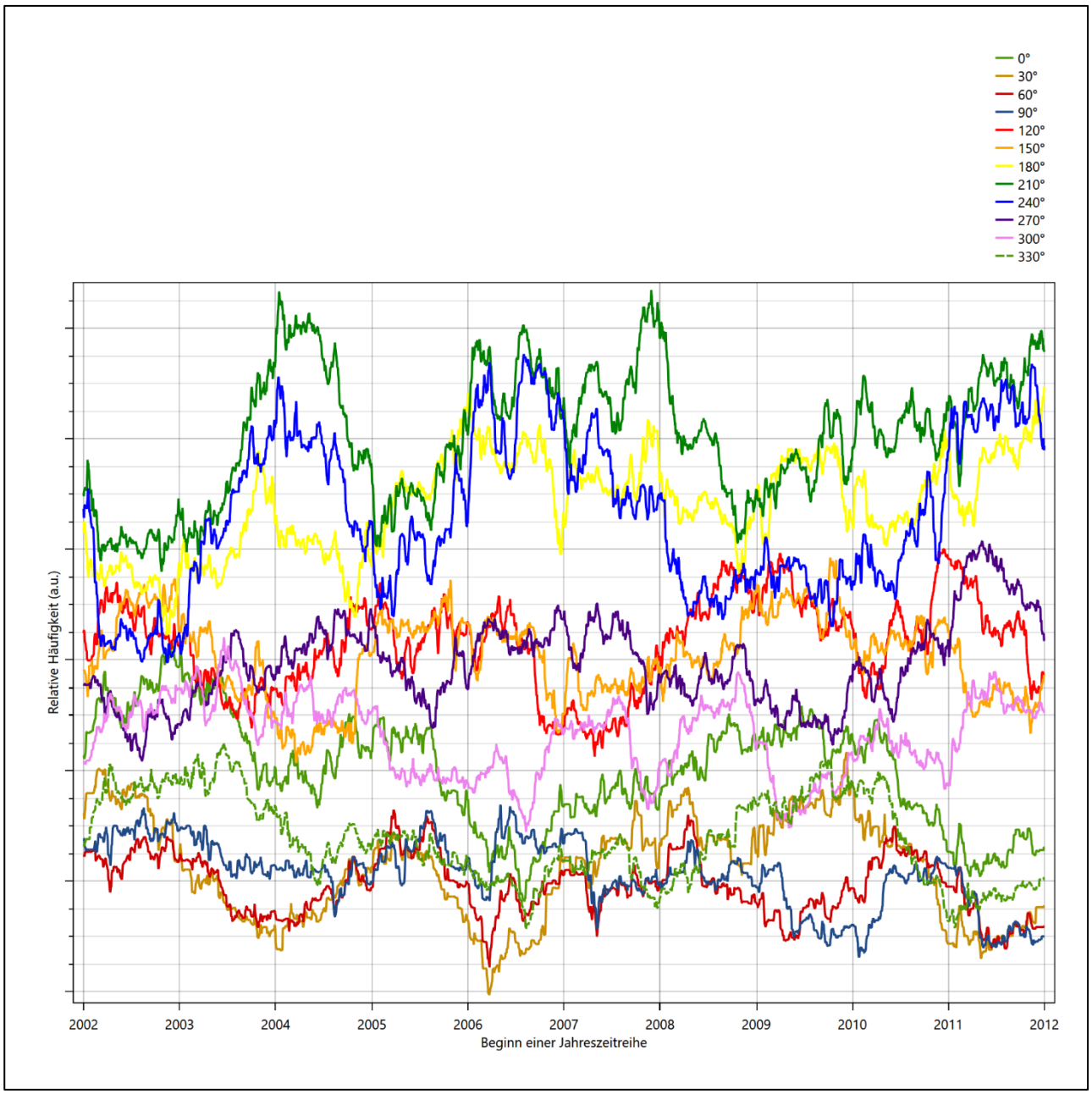

Abbildung 22: Prüfung auf vollständige und homogene Daten der modellierten Daten anhand der Windrichtungsverteilung

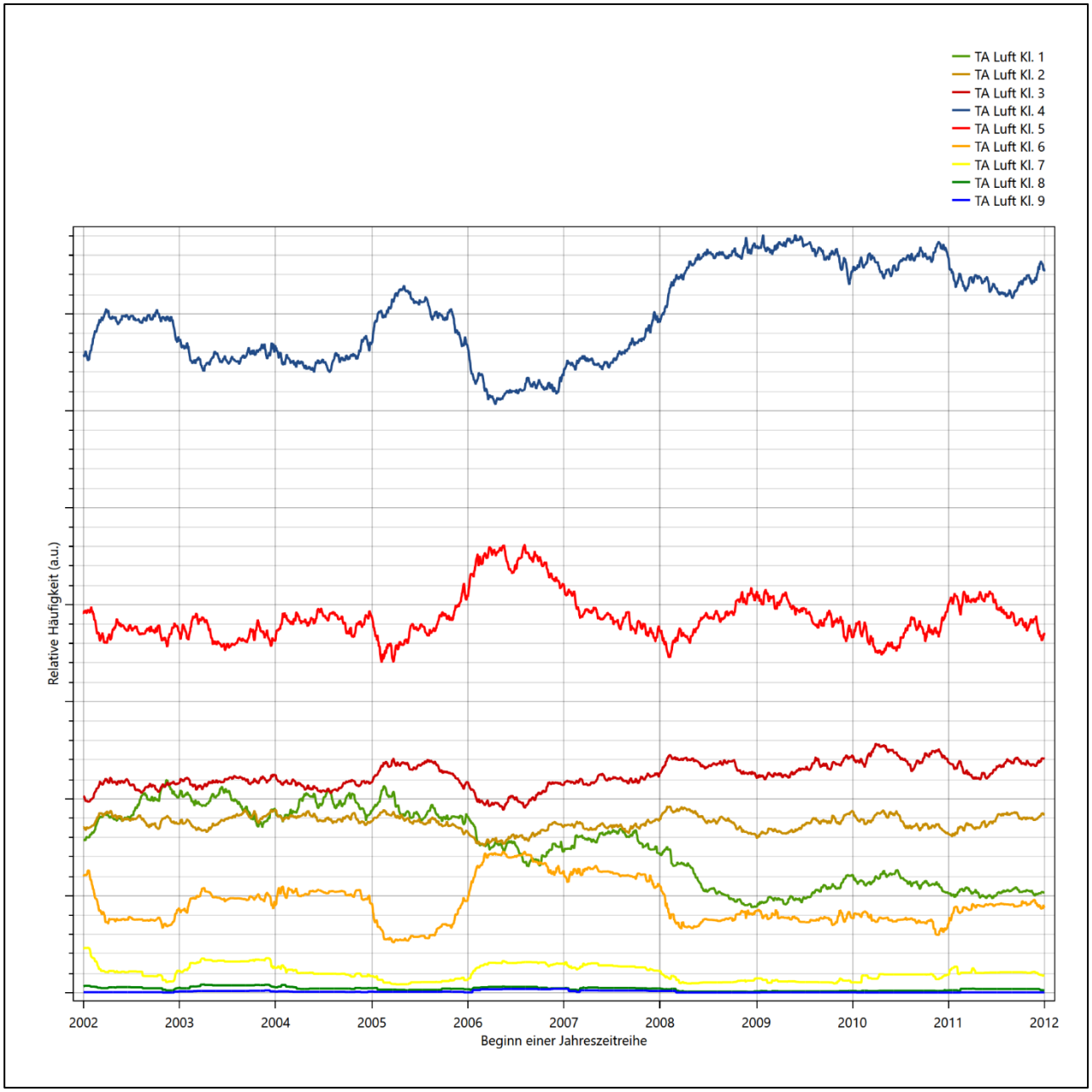

Abbildung 23: Prüfung auf vollständige und homogene Daten der modellierten Daten anhand der Windgeschwindigkeitsverteilung

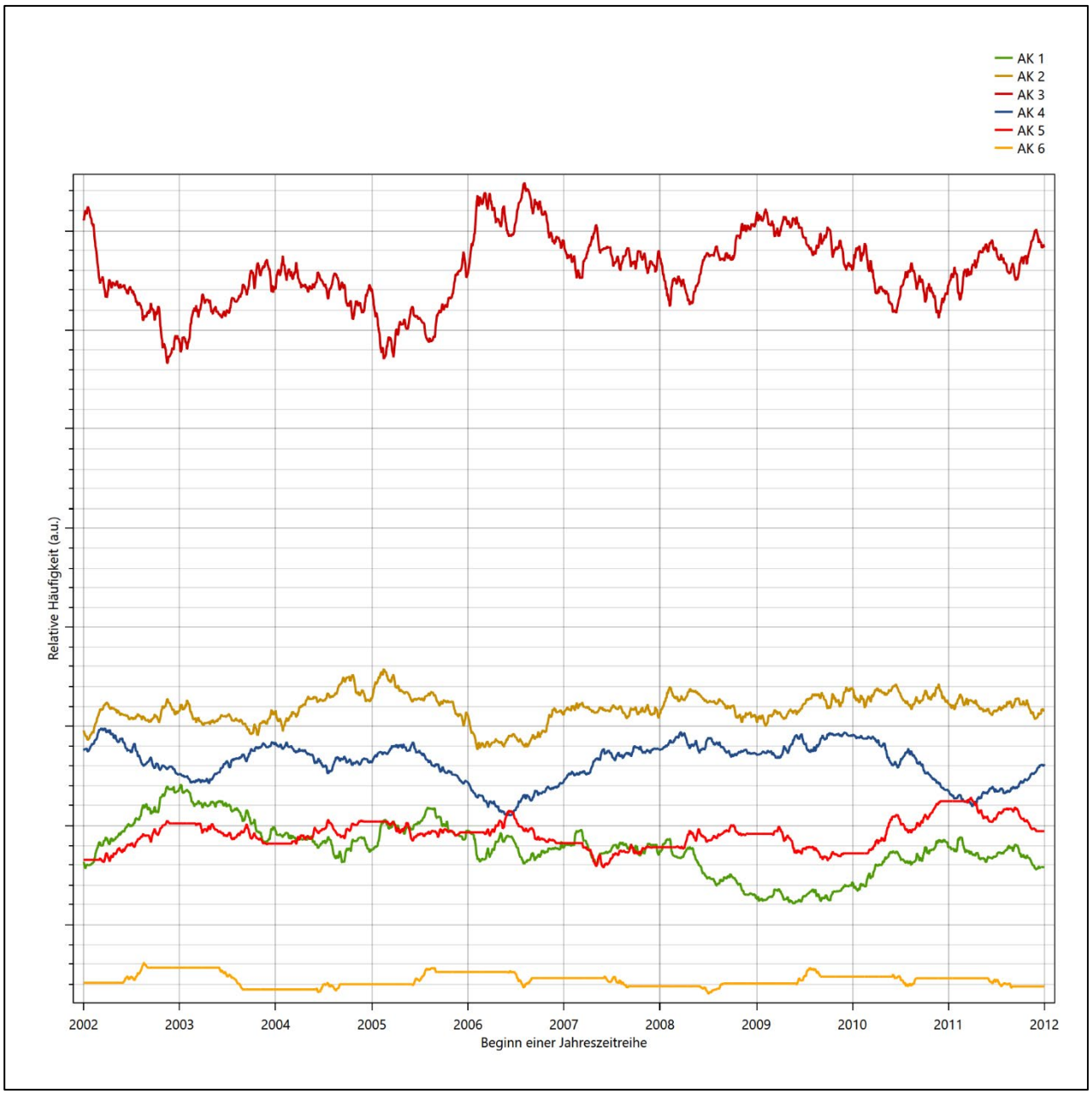

Abbildung 24: Prüfung auf vollständige und homogene Daten der modellierten Daten anhand der Verteilung der Ausbreitungsklasse

Für die Bestimmung eines repräsentativen Jahres werden Daten aus einem Gesamtzeitraum mit homogener Datenbasis vom 01.01.2003 bis zum 31.12.2012 verwendet.

Wie aus den Grafiken erkennbar ist, gab es im untersuchten Zeitraum keine systematischen bzw. tendenziellen Änderungen an der modellierten Windrichtungsverteilung und der Windgeschwindigkeitsverteilung. Die Datenbasis ist also homogen und lang genug, um ein repräsentatives Jahr auszuwählen.

6.2 Analyse der Verteilungen von Windrichtung, Windgeschwindigkeit, Ausbreitungsklasse sowie der Nacht- und Schwachwinde

In diesem Schritt werden die bereits zum Zwecke der Homogenitätsprüfung gebildeten Verteilungen dem χ^2-Test zum Vergleich empirischer Häufigkeitsverteilungen unterzogen.

Bei der Suche nach einem repräsentativen Jahr werden dabei alle Zeiträume untersucht, die an einem ersten Januar des Gesamtzeitraumes beginnen und die jeweils ein Kalenderjahr lang sind.

Bei der gewählten Vorgehensweise werden die χ^2-Terme der Einzelzeiträume untersucht, die sich beim Vergleich mit dem Gesamtzeitraum ergeben. Diese Terme lassen sich bis zu einem gewissen Grad als Indikator dafür ansehen, wie ähnlich die Einzelzeiträume dem mittleren Zustand im Gesamtzeitraum sind. Dabei gilt, dass ein Einzelzeitraum dem mittleren Zustand umso näherkommt, desto kleiner der zugehörige χ^2-Term (die Summe der quadrierten und normierten Abweichungen von den theoretischen Häufigkeiten entsprechend dem Gesamtzeitraum) ist. Durch die Kenntnis dieser einzelnen Werte lässt sich daher ein numerisches Maß für die Ähnlichkeit der Einzelzeiträume mit dem Gesamtzeitraum bestimmen.

In Analogie zur Untersuchung der Windrichtungen wird ebenfalls für die Verteilung der Windgeschwindigkeiten (auf die TA Luft-Klassen, siehe oben) ein χ^2-Test durchgeführt. So lässt sich auch für die Windgeschwindigkeitsverteilung ein Maß dafür finden, wie ähnlich die ein Jahr langen Einzelzeiträume dem Gesamtzeitraum sind.

Weiterhin wird die Verteilung der Ausbreitungsklassen in den Einzelzeiträumen mit dem Gesamtzeitraum verglichen.

Schließlich wird eine weitere Untersuchung der Windrichtungsverteilung durchgeführt, wobei jedoch das Testkollektiv gegenüber der ersten Betrachtung dieser Komponente dadurch beschränkt wird, dass ausschließlich Nacht- und Schwachwinde zur Beurteilung herangezogen werden. Der Einfachheit halber wird dabei generell der Zeitraum zwischen 18:00 und 6:00 Uhr als Nacht definiert, d.h. auf eine jahreszeitliche Differenzierung wird verzichtet. Zusätzlich darf die Windgeschwindigkeit 3 m/s während dieser nächtlichen Stunden nicht überschreiten. Die bereits bestehende Einteilung der Windrichtungssektoren bleibt hingegen ebenso unverändert wie die konkrete Anwendung des χ^2-Tests.

Als Ergebnis dieser Untersuchungen stehen für die einzelnen Testzeiträume jeweils vier Zahlenwerte zur Verfügung, die anhand der Verteilung von Windrichtung, Windgeschwindigkeit, Ausbreitungsklasse und der Richtung von Nacht- und Schwachwinden die Ähnlichkeit des Testzeitraumes mit dem Gesamtzeitraum ausdrücken. Um daran eine abschließende Bewertung vornehmen zu können, werden die vier Werte gewichtet addiert, wobei die Windrichtung mit 0,46, die Windgeschwindigkeit mit 0,24, die Ausbreitungsklasse mit 0,25 und die Richtung der Nacht- und Schwachwinde mit 0,15 gewichtet wird. Die Wichtefaktoren wurden aus der VDI-Richtlinie 3783 Blatt 20 [7] entnommen. Als Ergebnis erhält man einen Indikator für die Güte der Übereinstimmung eines jeden Testzeitraumes mit dem Gesamtzeitraum.

In der folgenden Grafik ist dieser Indikator dargestellt, wobei auch zu erkennen ist, wie sich dieser Wert aus den einzelnen Gütemaßen zusammensetzt. Auf der Abszisse ist jeweils der Beginn des Einzelzeitraums mit einem Jahr Länge abgetragen.

Ebenfalls zu erkennen ist der Beginn des Testzeitraumes (Jahreszeitreihe), für den die gewichtete χ^2-Summe den kleinsten Wert annimmt (vertikale Linie). Dieser Testzeitraum ist als eine Jahreszeitreihe anzusehen, die dem gesamten Zeitraum im Rahmen der durchgeführten Untersuchungen am ähnlichsten ist. Dies ist im

vorliegenden Fall der 04.01.2008, was als Beginn des repräsentativen Jahres angesehen werden kann. Die repräsentative Jahreszeitreihe läuft dann bis zum 02.01.2009.

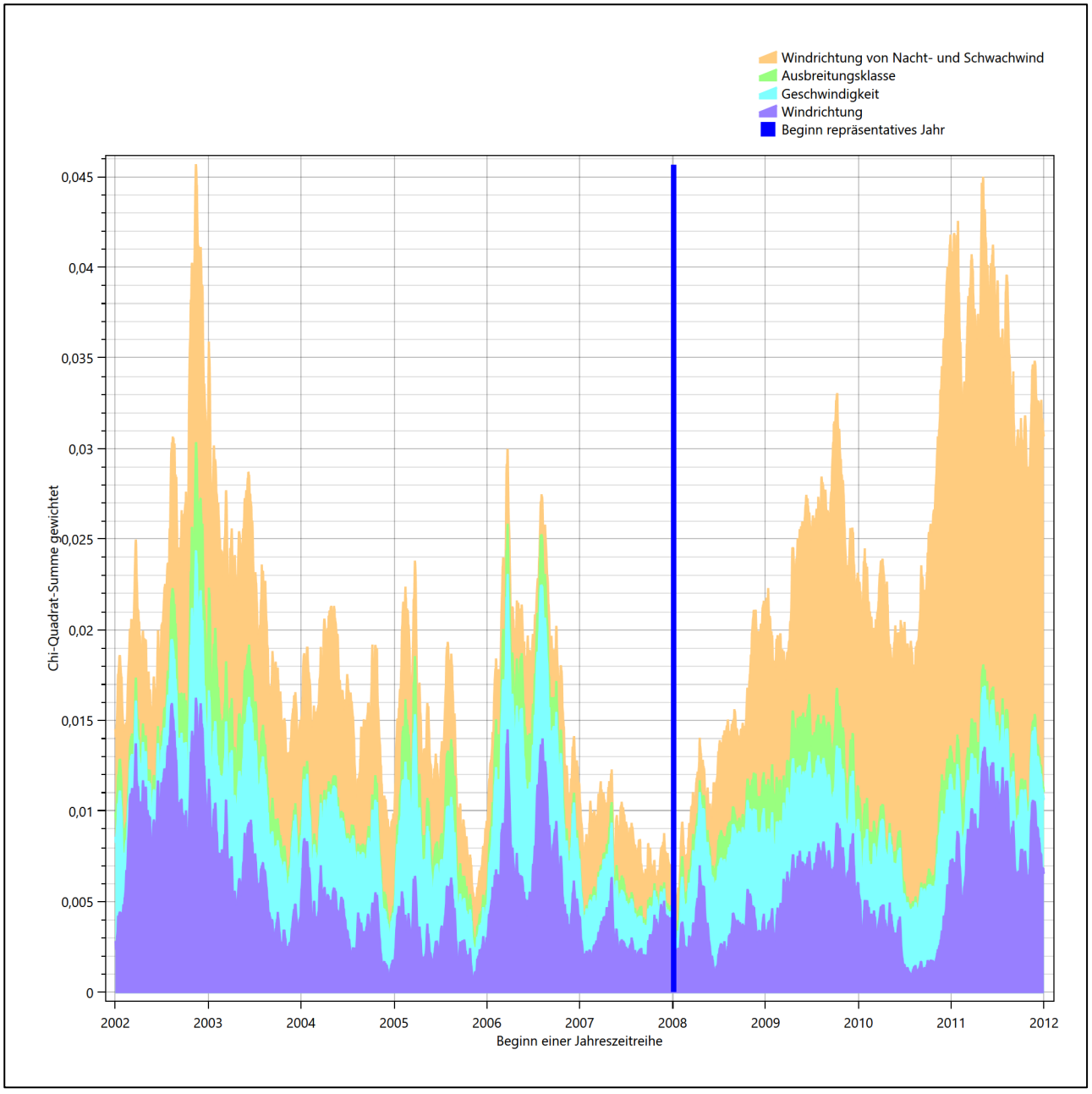

Abbildung 25: Gewichtete χ^2-Summe und Einzelwerte als Maß für die Ähnlichkeit der einzelnen Testzeiträume zu je einem Jahr (Jahreszeitreihe) mit dem Gesamtzeitraum

Die zunächst mit Auswertung der gewichteten χ^2-Summe durchgeführte Suche nach dem repräsentativen Jahr wird erweitert, indem auch geprüft wird, ob das gefundene repräsentative Jahr in der σ-Umgebung der für den Gesamtzeitraum ermittelten Standardabweichung liegen. Auch diese Vorgehensweise ist im Detail in der VDI-Richtlinie 3783 Blatt 20 [7] (Anhang A3.1) beschrieben.

Für jede Verteilung der zu bewertenden Parameter (Windrichtung, Windgeschwindigkeit, Ausbreitungsklasse, Richtung der Nacht- und Schwachwinde) wird die Standardabweichung über den Gesamtzeitraum

bestimmt. Anschließend erfolgt für jeden Einzelzeitraum die Ermittlung der Fälle, in denen die Klassen der untersuchten Parameter innerhalb der Standardabweichung des Gesamtzeitraumes (σ-Umgebung) liegen.

Die Anzahl von Klassen, die für jeden Parameter innerhalb der σ-Umgebung des Gesamtzeitraumes liegen, ist wiederum ein Gütemaß dafür, wie gut der untersuchte Einzelzeitraum mit dem Gesamtzeitraum übereinstimmt. Je höher die Anzahl, umso besser ist die Übereinstimmung. In Anlehnung an die Auswertung der gewichteten χ^2-Summe wird auch hier eine gewichtete Summe aus den einzelnen Parametern gebildet, wobei die gleichen Wichtefaktoren wie beim χ^2-Test verwendet werden.

In der folgenden Grafik ist diese gewichtete Summe zusammen mit den Beiträgen der einzelnen Parameter für jeden Einzelzeitraum dargestellt.

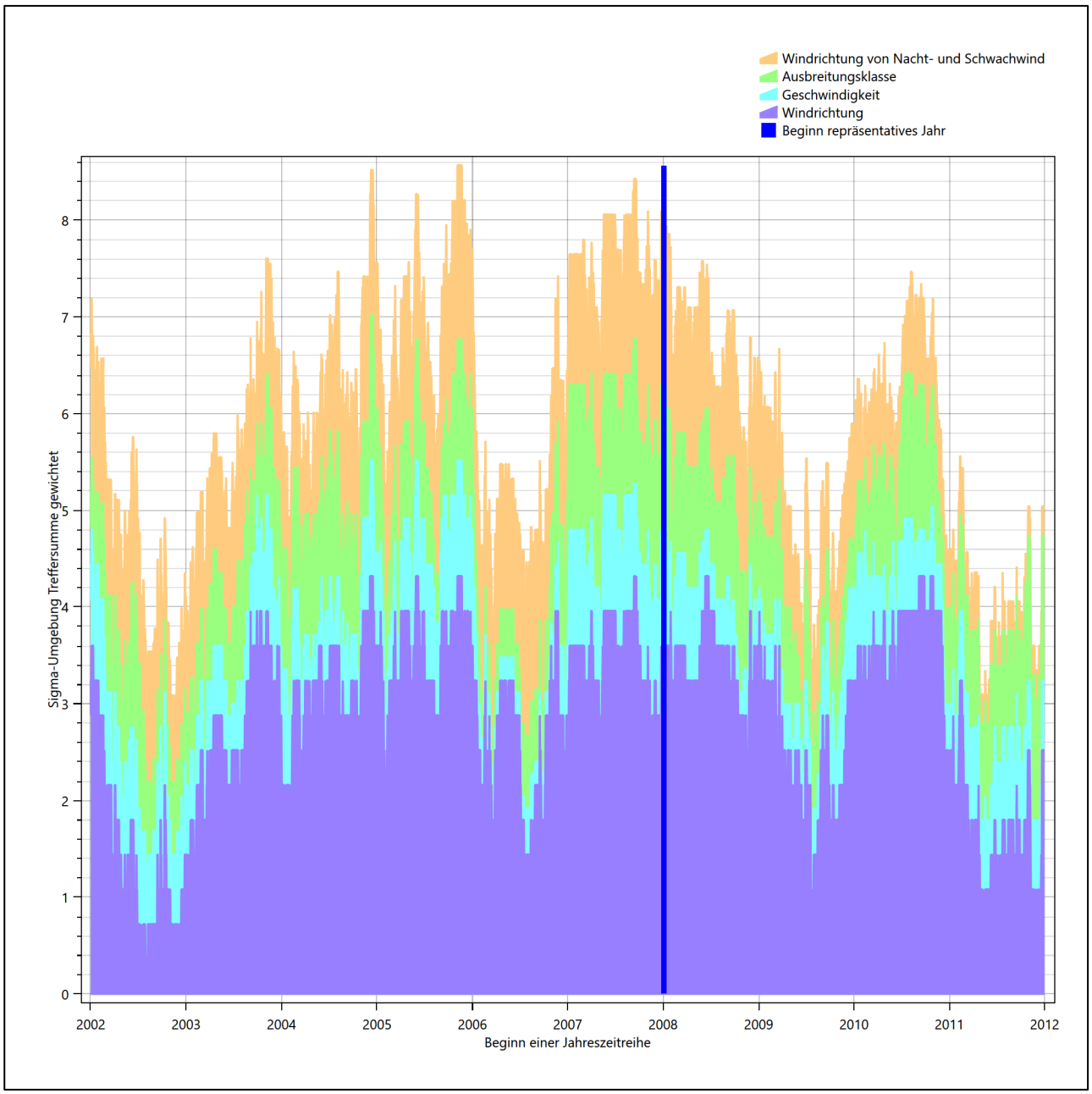

Abbildung 26: Gewichtete σ-Umgebung-Treffersumme und Einzelwerte als Maß für die Ähnlichkeit der einzelnen Testzeiträume zu je einem Jahr (Jahreszeitreihe) mit dem Gesamtzeitraum

Erfahrungsgemäß wird für das aus dem χ^2-Test gefundene repräsentative Jahr 04.01.2008 bis 02.01.2009 nicht auch immer mit dem Maximum der gewichteten σ-Umgebung-Treffersumme zusammenfallen. Im vorliegenden Fall lässt sich jedoch für das repräsentative Jahr feststellen, dass alle anderen untersuchten Einzelzeiträume eine schlechtere σ-Umgebung-Treffersumme aufweisen. Dies kann als Bestätigung angesehen werden, dass das aus dem χ^2-Test gefundene repräsentative Jahr als solches verwendet werden kann.

6.3 Prüfung auf Plausibilität

Der im vorigen Schritt gefundene Testzeitraum mit der größten Ähnlichkeit zum Gesamtzeitraum erstreckt sich vom 04.01.2008 zum bis 02.01.2009. Inwieweit diese Jahreszeitreihe tatsächlich für den Gesamtzeitraum repräsentativ ist, soll anhand einer abschließenden Plausibilitätsprüfung untersucht werden.

Dazu sind in den folgenden Abbildungen die Verteilungen der Windrichtung, der Windgeschwindigkeit, der Ausbreitungsklasse und der Richtung von Nacht- und Schwachwinden für die ausgewählte Jahreszeitreihe dem Gesamtzeitraum gegenübergestellt.

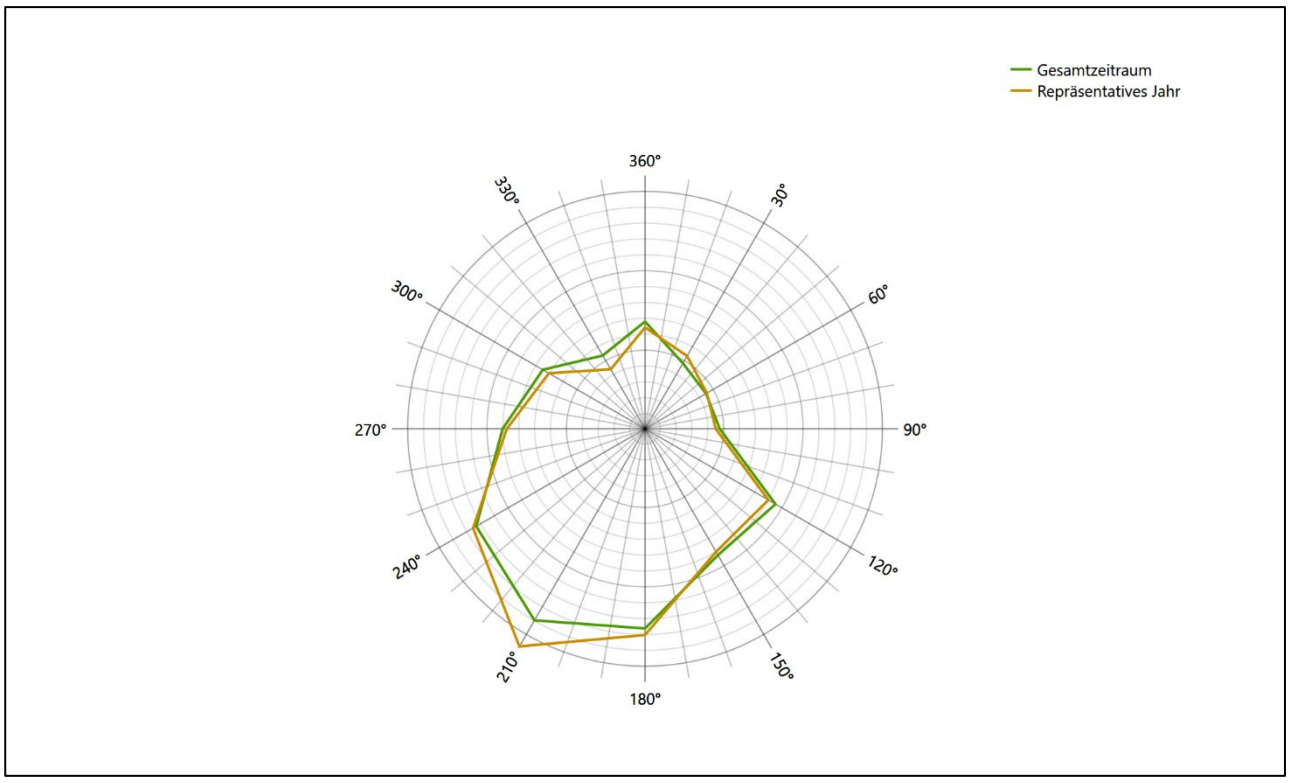

Abbildung 27: Vergleich der Windrichtungsverteilung für die ausgewählte Jahreszeitreihe mit dem Gesamtzeitraum

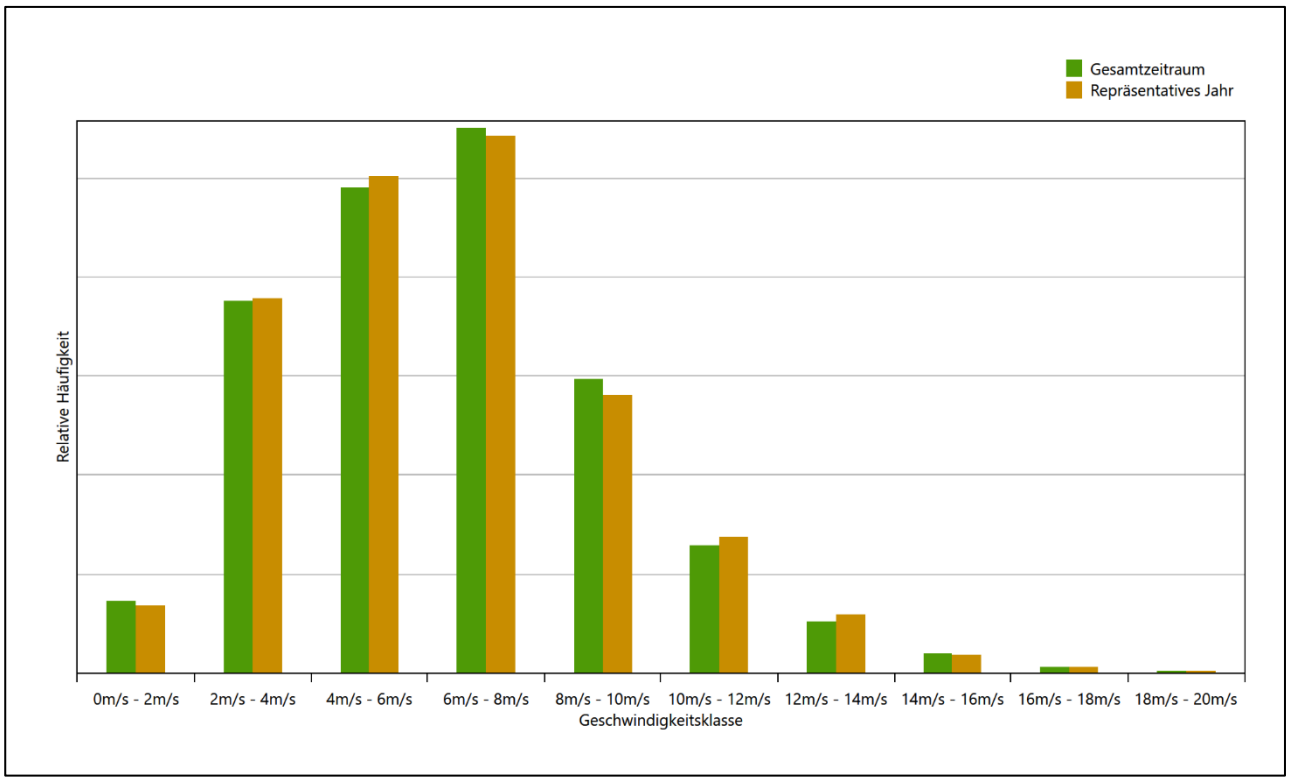

Abbildung 28: Vergleich der Windgeschwindigkeitsverteilung für die ausgewählte Jahreszeitreihe mit dem Gesamtzeitraum

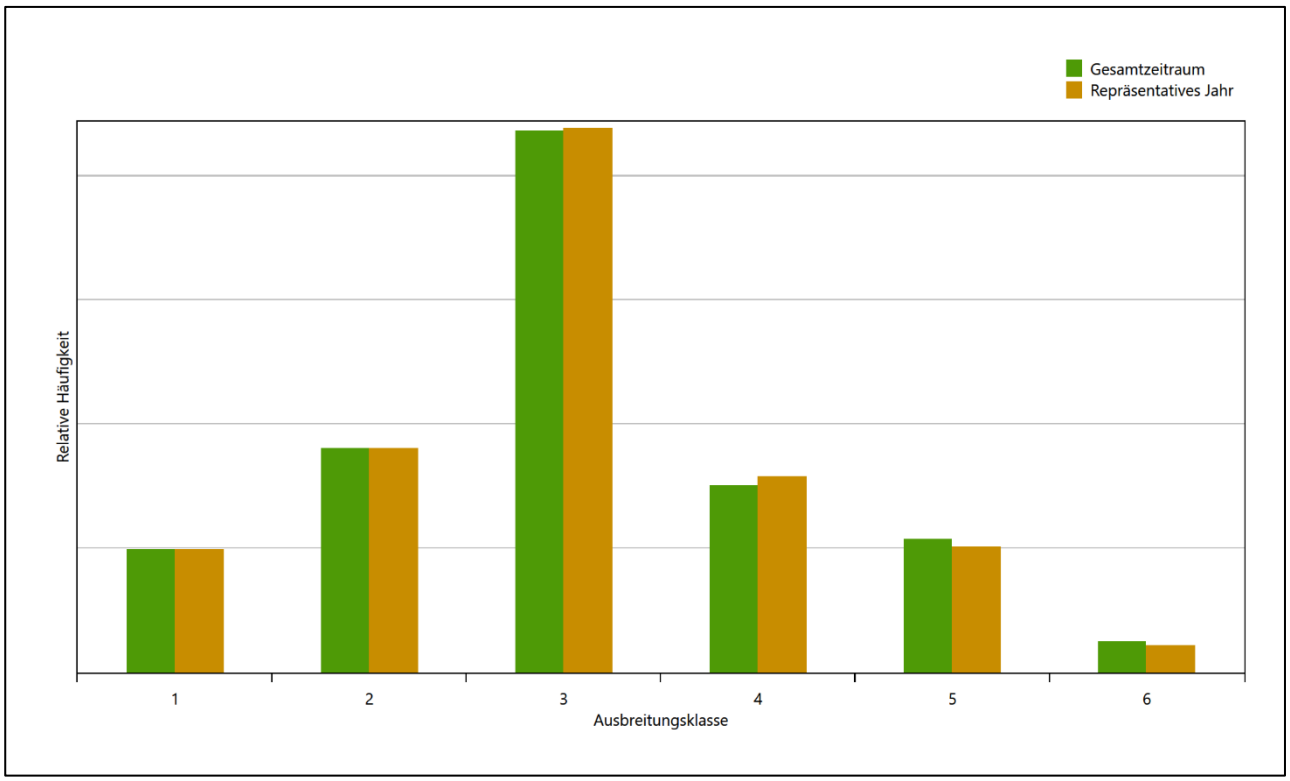

Abbildung 29: Vergleich der Verteilung der Ausbreitungsklasse für die ausgewählte Jahreszeitreihe mit dem Gesamtzeitraum

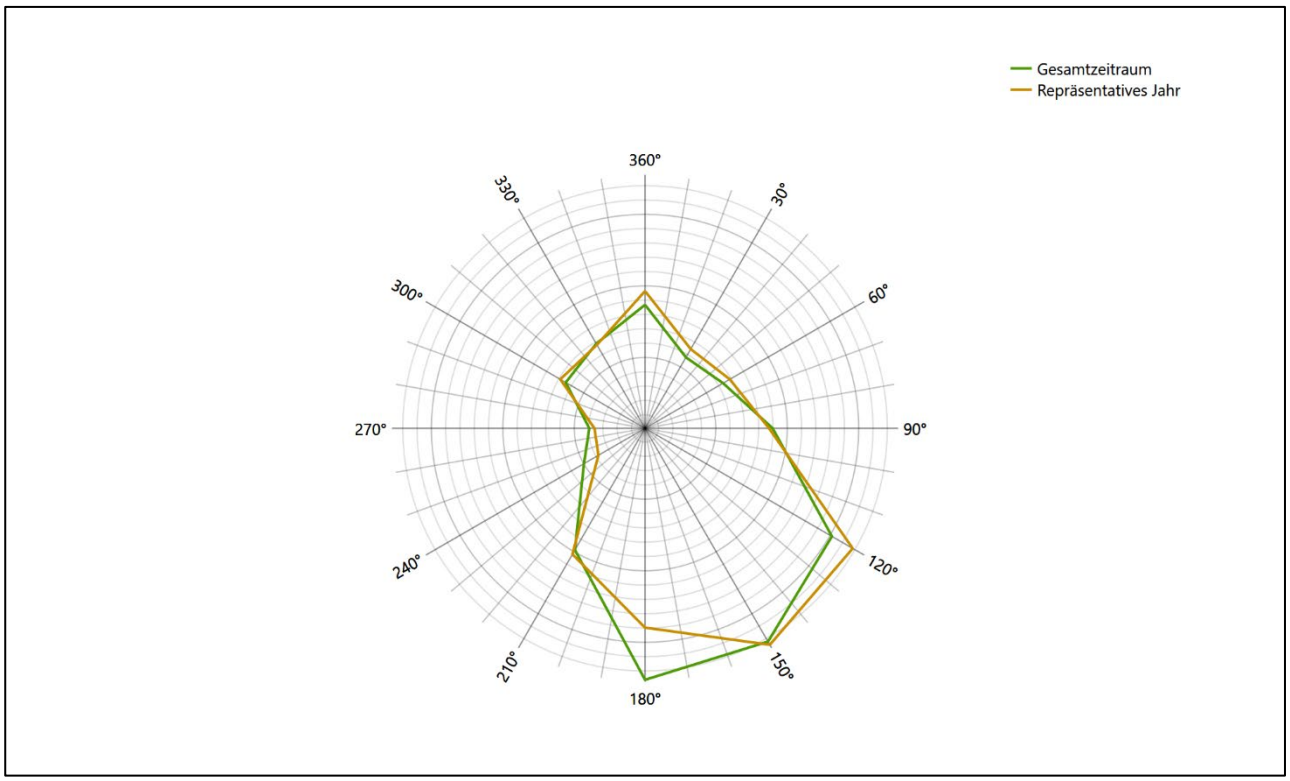

Abbildung 30: Vergleich der Richtungsverteilung von Nacht- und Schwachwinden für die ausgewählte Jahreszeitreihe mit dem Gesamtzeitraum

Anhand der Grafiken ist erkennbar, dass sich die betrachteten Verteilungen für die ausgewählte Jahreszeitreihe kaum von denen des Gesamtzeitraumes unterscheiden.

Daher kann davon ausgegangen werden, dass der Zeitraum vom 04.01.2008 bis zum 02.01.2009 ein repräsentatives Jahr für den Aufpunkt im betrachteten Gesamtzeitraum vom 01.01.2003 bis zum 31.12.2012 ist.

7 Beschreibung der Datensätze

7.1 Rechnerische Anemometerhöhen in Abhängigkeit von der Rauigkeitsklasse

Die für Ausbreitungsrechnungen notwendigen Informationen zur Anpassung der Windgeschwindigkeiten an die unterschiedlichen mittleren aerodynamischen Rauigkeiten zwischen dem Aufpunkt der Datenmodellierung und der Ausbreitungsrechnung werden durch die Angabe von 9 Anemometerhöhen in der Zeitreihendatei gegeben.

Je nachdem, wie stark sich die Rauigkeit am Aufpunkt für die Modellierung von der für die Ausbreitungsrechnung am Standort verwendeten Rauigkeit unterscheiden, werden die Windgeschwindigkeiten implizit skaliert. Dies geschieht nicht durch formale Multiplikation aller Geschwindigkeitswerte mit einem geeigneten Faktor, sondern durch die Annahme, dass die modellierte Geschwindigkeit nach Übertragung an die EAP dort einer größeren oder kleineren (oder im Spezialfall auch derselben) Anemometerhöhe zugeordnet wird. Über das logarithmische Windprofil in Bodennähe wird durch die Verschiebung der Anemometerhöhe eine Skalierung der Windgeschwindigkeiten im berechneten Windfeld herbeigeführt.

Die aerodynamisch wirksame Rauigkeitslänge am Aufpunkt der Modellierung wurde über ein Gebiet mit Radius von 3 km ermittelt, wobei für jede Anströmrichtung die Rauigkeit im zugehörigen Sektor mit der relativen Häufigkeit der Anströmung aus diesem Sektor gewichtet wurde. Im vorliegenden Fall ergibt das im betrachteten Zeitraum einen Wert von 0,988 m. Daraus ergeben sich die folgenden, den Rauigkeitsklassen der TA Luft zugeordneten Anemometerhöhen. Das Berechnungsverfahren dazu wurde der VDI-Richtlinie 3783 Blatt 8 [6] entnommen.

Tabelle 9: Rechnerische Anemometerhöhen in Abhängigkeit von der Rauigkeitsklasse

Rauigkeitsklasse [m]:	0,01	0,02	0,05	0,10	0,20	0,50	1,00	1,50	2,00
Anemometerhöhe [m]:	4,0	4,0	4,0	4,5	6,6	11,2	17.1	22,2	26,9

7.2 Ausbreitungsklassenzeitreihe

Aus den modellierten Werten für Windgeschwindigkeit, Windrichtung und Bedeckung wurde eine Ausbreitungsklassenzeitreihe gemäß den Vorgaben der TA Luft in Anhang 3 Ziffer 8 [9] erstellt. Die meteorologischen Daten werden als Stundenmittel angegeben, wobei die Windgeschwindigkeit vektoriell gemittelt wird. Die Verfügbarkeit der Daten soll nach TA Luft mindestens 100 % der Jahresstunden betragen. Im vorliegenden Fall wurde eine Verfügbarkeit von 100 % bezogen auf das repräsentative Jahr erreicht.

Die rechnerischen Anemometerhöhen wurden im Dateikopf hinterlegt.

8 Hinweise für die Ausbreitungsrechnung

Die Modellierung der meteorologischen Daten wurde für einen Aufpunkt unmittelbar nordwestlich des Standortes durchgeführt. Dieser Punkt liegt in einem um den Standort noch recht homogenen Gebiet hinsichtlich der Windverhältnisse und es empfiehlt sich, diesen Punkt auch als Ersatzanemometerposition bei der Ausbreitungsrechnung zu verwenden. Dadurch erhalten die meteorologischen Daten einen sachgerecht gewählten Ortsbezug im Rechengebiet der Ausbreitungsberechnung.

Bei der Ausbreitungsrechnung ist es wichtig, eine korrekte Festlegung der Bodenrauigkeit vorzunehmen, die die umgebende Landnutzung entsprechend würdigt. Nur dann kann davon ausgegangen werden, dass die gemessenen Windgeschwindigkeiten sachgerecht auf die Verhältnisse im Untersuchungsgebiet skaliert werden.

Die modellierten meteorologischen Daten dienen als Antriebsdaten für ein der Ausbreitungsrechnung vorgeschaltetes Windfeldmodell, das für die Gegebenheiten am Standort geeignet sein muss. Bei der Ausbreitungsrechnung ist zu beachten, dass lokale meteorologische Besonderheiten wie Kaltluftabflüsse nicht in den Antriebsdaten für das Windfeldmodell abgebildet sind. Dies folgt der fachlich etablierten Ansicht, dass lokale meteorologische Besonderheiten über ein geeignetes Windfeldmodell und nicht über die Antriebsdaten in die Ausbreitungsrechnung eingehen müssen. Die Dokumentation zur Ausbreitungsrechnung (Immissionsprognose) muss darlegen, wie dies im Einzelnen geschieht.

9 Zusammenfassung

Für den zu untersuchenden Standort in Falkenstein/Vogtland wurde überprüft, ob sich die meteorologischen Daten einer oder mehrerer Messstationen des Deutschen Wetterdienstes zum Zweck einer Ausbreitungsberechnung nach Anhang 3 der TA Luft übertragen lassen.

Dabei zeigte sich keine der umliegenden Messstationen für eine Übertragung geeignet. Daher wurden im Rahmen eines Sonderfalls modellierte meteorologischen Daten für eine Ausbreitungsberechnung bereitgestellt.

Der berechnete Satz modellierter Daten wurde für die UTM-Koordinaten 33313350, 5595050 erstellt.

Als repräsentatives Jahr für die modellierten meteorologischen Daten wurde aus einem Gesamtzeitraum der Zeitraum 04.01.2008 bis zum 02.01.2009 ermittelt.

Frankenberg, am 15. Dezember 2021

Dipl.-Phys. Thomas Köhler
- erstellt -

Dr. Hartmut Sbosny
- freigegeben -

10 Prüfliste für die Übertragbarkeitsprüfung

Die folgende Prüfliste orientiert sich an Anhang B der VDI-Richtlinie 3783 Blatt 20 [7] und soll bei der Prüfung des vorliegenden Dokuments Hilfestellung leisten.

Abschnitt in VDI 3783 Blatt 20	Prüfpunkt	Entfällt	Vorhanden	Abschnitt/ Seite im Dokument
5	**Allgemeine Angaben**			
	Art der Anlage		☒	1 / 5
	Lage der Anlage mit kartografischer Darstellung		☒	2.1 / 6
	Höhe der Quelle(n) über Grund und NHN		☒	1 / 5
	Angaben über Windmessstandorte verschiedener Messnetzbetreiber und über Windmessungen im Anlagenbereich		☒	4.2 / 15
	Besonderheiten der geplanten Vorgehensweise bei der Ausbreitungsrechnung	☒	☐	
5	**Angaben zu Bezugswindstationen**			
	Auswahl der Bezugswindstationen dokumentiert (Entfernungsangabe, gegebenenfalls Wegfall nicht geeigneter Stationen)		☒	4.2 / 15
	Für alle Stationen Höhe über NHN		☒	4.2 / 17
	Für alle Stationen Koordinaten		☒	4.2 / 17
	Für alle Stationen Windgeberhöhe		☒	4.2 / 17
	Für alle Stationen Messzeitraum und Datenverfügbarkeit		☒	4.2 / 17
	Für alle Stationen Messzeitraum zusammen-hängend mindestens 5 Jahre lang		☒	4.2 / 17
	Für alle Stationen Beginn des Messzeitraums bei Bearbeitungsbeginn nicht mehr als 15 Jahre zurückliegend		☒	4.2 / 17
	Für alle Stationen Rauigkeitslänge		☒	0 / 23
	Für alle Stationen Angaben zur Qualitätssicherung vorhanden		☒	4.2 / 15…18
	Lokale Besonderheiten einzelner Stationen	☐	☒	4.2 / 15…18
6	**Prüfung der Übertragbarkeit**			
6.2.1	Zielbereich bestimmt und Auswahl begründet	☐	☒	3.3 / 12
6.2.2	Erwartungswerte für Windrichtungsverteilung im Zielbereich bestimmt und nachvollziehbar begründet		☒	0 / 18…23
6.2.2	Erwartungswerte für Windgeschwindigkeits-verteilung im Zielbereich bestimmt und nachvollziehbar begründet		☒	0 / 18…23
6.2.3.2	Messwerte der meteorologischen Datenbasis auf einheitliche Rauigkeitslänge und Höhe über Grund umgerechnet		☒	0 / 18…23
6.2.3.1	Abweichung zwischen erwartetem Richtungsmaximum und Messwert der Bezugswindstationen ermittelt und mit 30° verglichen		☒	0 / 23

Abschnitt in VDI 3783 Blatt 20	Prüfpunkt	Entfällt	Vorhanden	Abschnitt/ Seite im Dokument
6.2.3.2	Abweichung zwischen Erwartungswert des vieljährigen Jahresmittelwerts der Windgeschwindigkeit und Messwert der Bezugswindstationen ermittelt und mit 1,0 $m \cdot s^{-1}$ verglichen		☒	4.5 / 30
6.1	Als Ergebnis die Übertragbarkeit der Daten einer Bezugswindstation anhand der geprüften Kriterien begründet (Regelfall) oder keine geeignete Bezugswindstation gefunden (Sonderfall)		☒	4.6 / 31
6.3	**Sonderfall**			
	Bei Anpassung gemessener meteorologischer Daten: Vorgehensweise und Modellansätze dokumentiert und deren Eignung begründet	☒	☐	
	Bei Anpassung gemessener meteorologischer Daten: Nachweis der räumlichen Repräsentativität der angepassten Daten	☒	☐	
6.4	**Repräsentatives Jahr**			
	Bei Auswahl eines repräsentativen Jahres: Auswahlverfahren dokumentiert und dessen Eignung begründet	☐	☒	6 / 40
	Bei Auswahl eines repräsentativen Jahres: Angabe, ob bei Auswahl auf ein Kalenderjahr abgestellt wird oder nicht (beliebiger Beginn der Jahreszeitreihe)	☐	☒	6.2 / 44
	Bei Auswahl eines repräsentativen Jahres: Messzeitraum mindestens 5 Jahre lang und bei Bearbeitungsbeginn nicht mehr als 15 Jahre zurückliegend	☐	☒	6.1 / 40
7.1	**Erstellung des Zieldatensatzes**			
	Anemometerhöhen in Abhängigkeit von den Rauigkeitsklassen nach TA Luft in Zieldatensatz integriert		☒	7.1 / 52
	Bei Verwendung von Stabilitätsinformationen, die nicht an der Bezugswindstation gewonnen wurden: Herkunft der Stabilitätsinformationen dokumentiert und deren Eignung begründet	☒	☐	
	Sonstiges			
7.2	Bei Besonderheiten im Untersuchungsgebiet: Hinweise für die Ausbreitungsrechnung und Angaben, unter welchen Voraussetzungen die Verwendung der bereitgestellten meteorologischen Daten zu sachgerechten Ergebnissen im Sinne des Anhangs zur Ausbreitungsrechnung der TA Luft führt	☐	☒	8 / 53

11 Schrifttum

[1] Statistisches Bundesamt, *Daten zur Bodenbedeckung für die Bundesrepublik Deutschland,* Wiesbaden.

[2] VDI 3783 Blatt 16 - Verein Deutscher Ingenieure e.V., *Umweltmeteorologie - Prognostische mesoskalige Windfeldmodelle - Verfahren zur Anwendung in Genehmigungsverfahren nach TA Luft,* Berlin: Beuth-Verlag, vom März 2017; in aktueller Fassung.

[3] D. Öttl, „Documentation of the prognostic mesoscale model GRAMM (Graz Mesoscale Model) Vs. 17.1," Amt der Steiermärkischen Landesregierung, Graz, 2017.

[4] VDI 3783 Blatt 21 - Verein Deutscher Ingenieure e.V., *Umweltmeteorologie - Qualitätssicherung meteorolgischer Daten für die Ausbreitungsrechnung nach TA Luft und GIRL,* Berlin: Beuth-Verlag, vom März 2017; in aktueller Fassung.

[5] Deutscher Wetterdienst, „Climate Data Center, CDC-Newsletter 6," Offenbach, 2017.

[6] VDI 3783 Blatt 8 - Verein Deutscher Ingenieure e.V., *Umweltmeteorologie - Messwertgestützte Turbulenzparametrisierung für Ausbreitungsmodelle (Entwurf),* Berlin: Beuth-Verlag, vom April 2017; in aktueller Fassung.

[7] VDI 3783 Blatt 20 - Verein Deutscher Ingenieure e.V., *Umweltmeteorologie - Übertragbarkeitsprüfung meteorologischer Daten zur Anwendung im Rahmen der TA Luft,* Berlin: Beuth-Verlag, vom März 2017; in aktueller Fassung.

[8] M. Koßmann und J. Namyslo, „Merkblatt Effektive Rauigkeitslänge aus Windmessungen," Deutscher Wetterdienst, Offenbach, 2019.

[9] TA Luft - Technische Anleitung zur Reinhaltung der Luft, *Erste Allgemeine Verwaltungsvorschrift zum Bundes-Immissionsschutzgesetz,* vom 24. Juli 2002 (GMBl. Nr. 25 - 29 vom 30.07.2002 S. 511); in aktueller Fassung.

[10] R. Petrich, „Praktische Erfahrungen bei der Prüfung der Übertragbarkeit meteorologischer Daten nach Richtlinie VDI 3783 Blatt 20 (E)," *Gefahrstoffe - Reinhaltung der Luft,* pp. 311 - 315, 07/08 2015.

[11] Deutscher Wetterdienst, „Handbuch Testreferenzjahre von Deutschland für mittlere, extreme und zukünftige Witterungsverhältnisse," Offenbach, 2014.

[12] Deutscher Wetterdienst, „TRY - Die neuen Testreferenzjahre für Deutschland," 2017. [Online]. Available: http://www.dwd.de/DE/leistungen/testreferenzjahre/try_zu-bbsr.html. [Zugriff am 31. Januar 2017].

[13] VDI 3783 Blatt 10 - Verein Deutscher Ingenieure e.V., *Umweltmeteorologie - Diagnostische mikroskalige Windfeldmodelle - Gebäude und Hindernisumströmung,* Berlin: Beuth-Verlag, vom März 2010; in aktueller Fassung.

[14] VDI 3783 Blatt 13 - Verein Deutscher Ingenieure e.V., *Umweltmeteorologie - Qualitätssicherung in der Immissionsprognose - Anlagenbezogener Immissionsschutz Ausbreitungsrechnungen gemäß TA Luft,* Berlin: Beuth-Verlag, vom Januar 2010; in aktueller Fassung.

[15] A. C. M. Beljaars, „The influence of sampling and filtering on measured wind gusts," *Journal of Atmospheric and Oceanic Technology,* Nr. 4, pp. 613-626, 1987.

[16] A. C. M. Beljaars, „The measurement of gustiness at routine wind stations – a review," *Instruments and Observing Methods,* Nr. Reports No. 31, 1987.

[17] J. Wieringa, „Gust factors over open water and built-up country," *Boundary-Layer Meteorology,* Nr. 3, pp. 424-441, 1973.

[18] J. Wieringa, „An objective exposure correction method for average wind speeds measured at sheltered location," *Quarterly Journal of the Royal Meteorological Society,* Nr. 102, pp. 241-253, 1976.

[19] Lasat 3.3, „Ing.-Büro Janicke," 1998-2013. [Online]. Available: http://www.janicke.de/de/lasat.html.

[20] metSoft GbR, Dr. Klaus Bigalke, Dipl.-Ing. Matthias Rau, Dr. Christoph Winkler, „Meteorologische Software,“ [Online]. Available: http://www.metsoft.de/. [Zugriff am 2016].

[21] Landesanstalt für Umwelt, Messungen und Naturschutz Baden-Württemberg, „Synthetische Windstatistiken Baden-Württemberg Hinweise für Anwender,“ Februar 2007. [Online]. Available: http://www.metcon-umb.de/uploads/media/hinweise_fuer_anwender.pdf. [Zugriff am 13 02 2018].